



สัญญาเลขที่ R2561B080



## รายงานวิจัยฉบับสมบูรณ์

จุฬาลงกรณ์มหาวิทยาลัย

โครงการ การประดิษฐ์และศึกษาสมบัติของเชรามีกและงานหานมแมงกานีสอกรไชร์ ที่เตรียมด้วยวิธีผสมผสาน

คณะผู้วิจัย สังกัด

- |                               |   |
|-------------------------------|---|
| 1. ผศ.ดร.ครรภุณิ เถื่อนถ้ำ    | ภาควิชาฟิสิกส์ คณะวิทยาศาสตร์ มหาวิทยาลัยนเรศวร |
| 2. นางสาวนันทิชา ศรีวิชัย     | ภาควิชาฟิสิกส์ คณะวิทยาศาสตร์ มหาวิทยาลัยนเรศวร |
| 3. นางสาวพิรุณรัตน์ กุลสุวรรณ | ภาควิชาฟิสิกส์ คณะวิทยาศาสตร์ มหาวิทยาลัยนเรศวร |
| 4. นางสาวสุจิตรา เพ็งภักดี    | ภาควิชาฟิสิกส์ คณะวิทยาศาสตร์ มหาวิทยาลัยนเรศวร |
| 5. นางสาวจิราธิ์ จุ่นยิ่ง     | ภาควิชาฟิสิกส์ คณะวิทยาศาสตร์ มหาวิทยาลัยนเรศวร |

|  |
|--|
| วันที่ออกใบอนุญาตฯ ให้ใช้ได้ 30/7/2564             |
| ผู้อนุมัติ 30/7/2564 1040829                       |
| ผู้รับใบอนุญาตฯ 3 QD<br>๑๖๑<br>๑๖๖<br>๑๑๔๙<br>๒๕๖๔ |

สนับสนุนโดยงบประมาณแผ่นดินมหาวิทยาลัยนเรศวร ปีงบประมาณ 2559

|                        |   |
|------------------------|---|
| <b>ชื่อเรื่อง</b>      | การประดิษฐ์และศึกษาสมบัติของเซรามิกแคนทานัมแมงกานีสออกไซด์ ที่เตรียมด้วยวิธีผึ้งผสมผ่าน                     |
| <b>นักวิจัย</b>        | ผู้ช่วยศาสตราจารย์ ดร.คราฟุณี เถื่อนคำ  |
| <b>ผู้ช่วยนักวิจัย</b> | นางสาวนันทิชา ศรีวิชัย<br>นางสาวพิรุณรัตน์ กุลสุวรรณ<br>นางสาวสุจิตรา เพ็งภักดี<br>นางสาวจิรารัตน์ จุ่น yay |
| <b>คำสำคัญ</b>         | แคนทานัมแมงกานีสออกไซด์ วิธีเซล-เจล เพอร์อฟไกต์ ไกลชีน  |

### บทคัดย่อ

ในงานวิจัยนี้ได้สังเคราะห์ผงผลึก LaMnO<sub>3</sub> ด้วยกระบวนการปฏิกิริยาเผาไหม้เซล-เจลโดยใช้สารเชื้อเพลิงไกลชีน หลังจากเผาแคลไชน์ที่อุณหภูมิ 600 700 800 และ 900 องศาเซลเซียส เป็นเวลา 2 ชั่วโมง เมื่อวิเคราะห์ด้วยเทคนิคการเลี้ยวเบนของรังสีเอกซ์ (XRD) พบว่าผงผลึกที่ได้มีความบริสุทธิ์ มีโครงสร้างเป็นเพอร์อฟไกต์แบบромโบฮีดรอต (rhombohedral) ซึ่งสอดคล้องกับฐานข้อมูล JCPDS หมายเลข 50-0298 และเมื่อตรวจสอบด้วยกล้องจุลทรรศน์อิเล็กตรอนแบบส่องกราด พบว่าอนุภาคมีลักษณะค่อนข้างกลม เกาะกลุ่มกันอย่างหนาแน่น มีขนาดอนุภาคเฉลี่ยประมาณ 86.17 และ 95.06 นาโนเมตร เมื่อเติมเชื้อเพลิงไกลชีนในอัตราส่วน 1:0.1 และ 1:0.3 โดยโมล ตามลำดับ ที่อุณหภูมิ 900 องศาเซลเซียส นอกจากนี้ยังพบว่าผงผลึกมีค่าร้อยละความบริสุทธิ์เพอร์อฟไกต์เพิ่มขึ้น และอนุภาคมีขนาดใหญ่ขึ้น เมื่ออุณหภูมิแคลลิไชน์และอัตราส่วนสารเชื้อเพลิงไกลชีนเพิ่มขึ้น

**Title** Synthesis of LaMnO<sub>3</sub> prepare by Hybrid Method

**Researcher** Assistant Professor Sarawut Thountom, Ph.D.

**Assistant Research** Nunticha Srivichai

Pirunrat Kulswuan

Sujitra Pengphakdee

Jirarat Junhuay

**Keywords** Lanthanum manganese oxide, sol-gel, Perovskite, Glycine

### Abstract

In this research, the crystalline of lanthanum manganese oxide (LaMnO<sub>3</sub>) powders were prepared via sol-gel combustion by using glycine fuels. The powders were calcined at 600, 700, 800 and 900°C for 2 hours. The crystal structure of the sample were investigated by X-ray Diffraction (XRD). It was found that, the pure perovskite phase with rhombohedral structure (JCPDS no. 50-0298). Furthermore, scanning electron microscope (SEM) was used to study the microstructures of the samples showing that the particles rather spherical in shape and agglomerated. The average particle size, 86.17 and 95.06 nm at the condition of the mole ratio 1:0.1 and 0.3 at 900°C calcination temperature, respectively. Besides that, the pure perovskite and the average particle size were increase when increasing calcination temperature and ratio of glycine.

## สารบัญ

|  | หน้า |
|--|------|
| <b>บทคัดย่อ ภาษาไทย</b>  | ก    |
| <b>บทคัดย่อ (ภาษาอังกฤษ)</b>                                   | ข    |
| <b>สารบัญ</b>  | ๑    |
| <b>สารบัญตาราง</b>   | ๙    |
| <b>สารบัญภาพ</b>   | ๗    |
| <b>บทที่ 1 บทนำ</b>  | ๑    |
| 1.1 ความเป็นมาและความสำคัญของปัลว่า                            | ๑    |
| 1.2 วัตถุประสงค์วิจัย  | ๒    |
| 1.3 ขอบเขตของการวิจัย  | ๒    |
| 1.4 สมมุติฐานงานวิจัย  | ๒    |
| 1.5 ประโยชน์ที่คาดว่าจะได้รับ                                  | ๓    |
| <b>บทที่ 2 ทฤษฎีและงานวิจัยที่เกี่ยวข้อง</b>                   | ๔    |
| 2.1 โครงสร้างผลึกແلنทานัมแมงกานีสออกไซด์                       | ๔    |
| 2.2 การเตรียมเซรามิกด้วยวิธีการการโซลเจล (sol-gel)             | ๕    |
| 2.3 วิธีการสังเคราะห์แบบเผาไหม้ (combustion Synthesis)         | ๗    |
| 2.4 เครื่องวิเคราะห์การเลี้ยงเบนของรังสีเอกซ์ (XRD)            | ๙    |
| 2.5 กล้องจุลทรรศน์อิเล็กตรอนแบบส่องกราด (SEM)                  | ๑๓   |
| 2.6 โครงสร้างเพอร์โอบสไกท์ (Perovskite structure)              | ๑๕   |
| 2.7 เซลล์เชื้อเพลิงของแฉงออกไซด์ (solid oxide fuel cell, SOFC) | ๑๖   |
| 2.8 ตัวเร่งปฏิกิริยา (catalyst)                                | ๑๗   |

## สารบัญ (ต่อ)

|   | หน้า      |
|---|-----------|
| 2.9 การบดย่อยแบบลูกบอล  | 20        |
| 2.10 กระบวนการให้ความร้อนกับสารเชรามิก  | 20        |
| 2.11 งานวิจัยที่เกี่ยวข้อง  | 22        |
| <b>บทที่ 3 วิธีดำเนินงานวิจัย</b>   | <b>30</b> |
| 3.1 สารเคมีที่ใช้ในการทดลอง   | 30        |
| 3.2 อุปกรณ์ที่ใช้ในการเตรียมสาร   | 30        |
| 3.3 อุปกรณ์ในการวิเคราะห์ตัวอย่าง   | 31        |
| 3.4 วิธีดำเนินการวิจัย  | 31        |
| <b>บทที่ 4 ผลการทดลอง</b>   | <b>34</b> |
| 4.1 ผลการวิเคราะห์ผงผลึก LaMnO <sub>3</sub> ด้วยด้วยกระบวนการปฏิกิริยาการเผาไหม้ โซล-เจล ด้วยเครื่องวิเคราะห์การเลี้ยวเบนของรังสีเอกซ์ และผลการวิเคราะห์ ด้วยกล้องจุลทรรศน์อิเล็กตรอนแบบส่องกราด  | 34        |
| 4.2 ผลการวิเคราะห์ผงผลึก LaMnO <sub>3</sub> ด้วยด้วยกระบวนการปฏิกิริยาการเผาไหม้ โซล-เจล โดยใช้สารเชื้อเพลิงไกลชีนที่อัตราส่วน 1:0.1 ด้วยเครื่องวิเคราะห์การ เลี้ยวเบนของรังสีเอกซ์ และผลการวิเคราะห์ด้วยกล้องจุลทรรศน์อิเล็กตรอน แบบส่องกราด | 38        |
| 4.3 ผลการวิเคราะห์ผงผลึก LaMnO <sub>3</sub> ด้วยด้วยกระบวนการปฏิกิริยาการเผาไหม้ โซล-เจล โดยใช้สารเชื้อเพลิงไกลชีนที่อัตราส่วน 1:0.1 ด้วยเครื่องวิเคราะห์การ เลี้ยวเบนของรังสีเอกซ์ และผลการวิเคราะห์ด้วยกล้องจุลทรรศน์อิเล็กตรอน แบบส่องกราด | 43        |
| <b>บทที่ 5 สรุปผลการทดลอง</b>   | <b>48</b> |
| 5.1 สรุปผลการวิเคราะห์ผงผลึก LaMnO <sub>3</sub> ด้วยกระบวนการปฏิกิริยาเผาไหม้ โซล-เจลโดยใช้สารเชื้อเพลิงไกลชีน  | 48        |
| <b>บรรณานุกรม</b>   | <b>49</b> |
| <b>ประวัติผู้วิจัย</b>  | <b>51</b> |

## สารบัญตาราง

| ตารางที่   | หน้า |
|--|------|
| 2.1 แสดงค่าพารามิเตอร์และคุณสมบัติต่างๆของตัวอย่าง LMO-SG LMO-GC และ LMO-CP  | 25   |
| 2.2 แสดงอัตราส่วนระหว่างไกลซีนต่อในเตรทที่เป็นเงื่อนไขในการสังเคราะห์  | 26   |
| 4.1 ค่าร้อยละความบริสุทธิ์ของโครงสร้างเพอร์อฟสไกท์ของผงผลึก ที่อุณหภูมิแคลไชน์ 600-900 องศาเซลเซียส เป็นเวลา 2 ชั่วโมง   | 36   |
| 4.2 ค่าร้อยละความบริสุทธิ์ของโครงสร้างเพอร์อฟสไกท์ของผงผลึก $\text{LaMnO}_3$ ร่วมกับสารเชื้อเพลิงไกลซีนที่อัตราส่วน 1:0.1 แคลไชน์ที่อุณหภูมิ 600-900 องศาเซลเซียส เป็นเวลา 2 ชั่วโมง | 40   |
| 4.3 ค่าร้อยละความบริสุทธิ์ของโครงสร้างเพอร์อฟสไกท์ของผงผลึก $\text{LaMnO}_3$ ร่วมกับสารเชื้อเพลิงไกลซีนที่อัตราส่วน 1:0.3 แคลไชน์ที่อุณหภูมิ 600-900 องศาเซลเซียส เป็นเวลา 2 ชั่วโมง | 45   |

## สารบัญรูป

| รูปที่  | หน้า |
|---|------|
| 2.1 โครงสร้างเพอร์อฟไกเตอร์ของແລນທານນັມແມງການສອດໄຊຕໍ່   | 4    |
| 2.2 แสดงແຜນຜັງການນຳກະບວນການໂຄລ-ຈේລໄປໃຫ້ປະໂຍ່ນໃນດ້ານຕ່າງໆ  | 5    |
| 2.3 ຄວາມສັນພົບຮ່ວ່າງອຸນຫຼຸມກັບເວລາໃນການເກີດປົງກິຈີຍາກາເພົ້າໄໝ້  | 8    |
| 2.4 ທັດການທຳການເຄື່ອງວິເຄຣາທີ່ການເລື້ອງເບັນຮັງສີເອກ໌ (X-Ray Diffractometer)   | 9    |
| 2.5 ແບບຈຳລອງສໍາຫັກການພຶສູນັກໝູຂອງແບຣກກໍ   | 11   |
| 2.6 ທັດການທຳການກລັອງຈຸລທຽບຕົວຢ່າງເລື້ອງສ່ອງກາດ (SEM)  | 13   |
| 2.7 ໂຄງສ້າງພຶກຂອງ perovskite  | 15   |
| 2.8 ການແຈກແຈງພລັງງານຂອງອນຸກາຄເມື່ອມີຕັ້ງເຮັ່ງປົງກິຈີຍາ  | 17   |
| 2.9 ການແຈກແຈງພລັງງານຂອງອນຸກາຄເມື່ອມີຕັ້ງເຮັ່ງປົງກິຈີຍາ  | 18   |
| 2.10 ການແຈກແຈງພລັງງານກ່ອນມັນຕົງປົງກິຈີຍາ  | 19   |
| 2.11 ແສດການແຕກຕ່າງຮ່ວ່າງການເພາະແຄລໄຊນ໌ແລະ ຂິນແຫວ່ງ  | 21   |
| 2.12 ຮູບແບບການເລື້ອງເບັນຮັງສີເອກ໌ຂອງ $\text{LaMnO}_3$ ທີ່ອຸນຫຼຸມ 800 ອົງຄາເໜລເຊີຍສ  | 22   |
| 2.13 ກາພດ່າຍຈາກກລັອງຈຸລທຽບຕົວຢ່າງເລື້ອງສ່ອງກາດຂອງອນຸກາຄ $\text{LaMnO}_3$ ທີ່ອຸນຫຼຸມ 800 ອົງຄາເໜລເຊີຍສ   | 22   |
| 2.14 ຮູບແບບການເລື້ອງເບັນຮັງສີເອກ໌ຂອງ $\text{LaMnO}_3$ ດ້ວຍອັຕຣາສ່ວນຂອງ CA/MN ທີ່ແຕກຕ່າງກັນ  | 23   |
| 2.15 ກາພດ່າຍຈາກກລັອງຈຸລທຽບຕົວຢ່າງເລື້ອງສ່ອງກາດຂອງກາສັງເຄຣາທີ່<br>ພິງ $\text{LaMnO}_3$ ດ້ວຍອັຕຣາສ່ວນຮ່ວ່າງ CA/MN ເກົ່າກັບ 0.5 - 1.5                            | 24   |
| 2.16 ຮູບແບບການເລື້ອງເບັນຮັງສີຂອງຕົວຢ່າງ LMO-SG LMO-GC ແລະ LMO-CP<br>ແລະ ຮູບແບບອນຸພັນຮ້ວ່າງສີເອກ໌ຂອງຕົວຢ່າງ LMO-CP ຕຳແໜ່ງ $2\theta$ ໃນ<br>ຊ່ວງ $20-35^\circ$ . | 25   |

## สารบัญรูป(ต่อ)

| รูปที่  | หน้า |
|---|------|
| 2.17 รูปแบบการเลี้ยวเบนรังสีเอกซ์ของ $\text{LMO}:\text{LaMnO}_3$ (JCPDS 50-0298) และ $\text{La}_2\text{O}_2\text{CO}_3$ ; (JCPDS 84-1963)   | 27   |
| 2.18 ภาพโครงสร้างจุลภาคจากกล้องจุลทรรศน์อิเล็กตรอนแบบส่องกราดของตัวอย่าง LMO  | 27   |
| 2.19 รูปแบบการเลี้ยวเบนของรังสีเอกซ์จากเทคนิคการเลี้ยวเบนของรังสีเอกซ์ ของอนุภาคนาโน $\text{LaMnO}_3$ แคลไชน์ที่อุณหภูมิ 600-900 องศาเซลเซียส เป็นเวลา 3 ชั่วโมง  | 28   |
| 2.20 ภาพถ่ายจากกล้องจุลทรรศน์อิเล็กตรอนแบบส่องกราดของอนุภาค $\text{LaMnO}_3$ แคลไชน์ที่ 600-900 องศาเซลเซียส เป็นเวลา 3 ชั่วโมง   | 29   |
| 3.1 แสดงแผนผังการเตรียมผงผลึก $\text{LaMnO}_3$ ด้วยด้วยกระบวนการปฏิกิริยาการเผาไหม้ไฮโล-เจลโดยใช้สารเชื้อเพลิงไกลซีน  | 33   |
| 4.1 ผลการวิเคราะห์โครงสร้างผลึกโดยเทคนิคการเลี้ยวเบนของรังสีเอกซ์ (XRD) ของผงผลึก $\text{LaMnO}_3$ แคลไชน์ที่อุณหภูมิ 600-900 องศาเซลเซียส เป็นเวลา 2 ชั่วโมง   | 35   |
| 4.2 ผลการวิเคราะห์โครงสร้างจุลภาคด้วยกล้องจุลทรรศน์อิเล็กตรอนแบบส่องกราด (SEM) ของผงผลึก $\text{LaMnO}_3$ แคลไชน์ที่อุณหภูมิ 600-900 องศาเซลเซียส เป็นเวลา 2 ชั่วโมง  | 37   |
| 4.3 ผลการวิเคราะห์โครงสร้างผลึกโดยเทคนิคการเลี้ยวเบนของรังสีเอกซ์ (XRD) ของผงผลึก $\text{LaMnO}_3$ ร่วมกับสารเชื้อเพลิงไกลซีนที่อัตราส่วน 1:0.1 แคลไชน์ที่อุณหภูมิ 600-900 องศาเซลเซียส เป็นเวลา 2 ชั่วโมง        | 39   |
| 4.4 ผลการวิเคราะห์โครงสร้างจุลภาคด้วยกล้องจุลทรรศน์อิเล็กตรอนแบบส่องกราด (SEM) ของผงผลึก $\text{LaMnO}_3$ ร่วมกับสารเชื้อเพลิงไกลซีนที่อัตราส่วน 1:0.1 แคลไชน์ที่อุณหภูมิ 600-900 องศาเซลเซียส เป็นเวลา 2 ชั่วโมง | 41   |
| 4.5 แผนภาพแสดงการกระจายตัวของอนุภาคผงผลึก $\text{LaMnO}_3$ โดยใช้สารเชื้อเพลิงไกลซีน ผ้าแคลไชน์ที่อุณหภูมิ 900 องศาเซลเซียส เป็นเวลา 2 ชั่วโมง ในอัตราส่วน 1:0.1  | 42   |

## สารบัญรูป(ต่อ)

| รูปที่   | หน้า |
|--|------|
| 4.6 ผลการวิเคราะห์โครงสร้างผลึกโดยเทคนิคการเลี้ยวเบนของรังสีเอกซ์ (XRD) ของ<br>ผงผลึก LaMnO <sub>3</sub> ร่วมกับสารเชื้อเพลิงไกลซีนที่อัตราส่วน 1:0.3 แคลไซน์ที่<br>อุณหภูมิ 600-900 องศาเซลเซียส เป็นเวลา 2 ชั่วโมง     | 44   |
| 4.7 ผลการวิเคราะห์โครงสร้างจุลภาคด้วยกล้องจุลทรรศน์อิเล็กตรอนแบบส่องกราด<br>(SEM) ของผงผลึก LaMnO <sub>3</sub> ร่วมกับสารเชื้อเพลิงไกลซีนที่อัตราส่วน 1:03<br>แคลไซน์ที่อุณหภูมิ 600-900 องศาเซลเซียส เป็นเวลา 2 ชั่วโมง | 46   |
| 4.8 แผนภาพแสดงการกระจายตัวของขนาดอนุภาคผงผลึก LaMnO <sub>3</sub> โดยใช้สาร<br>เชื้อเพลิงไกลซีน เผาแคลไซน์ที่อุณหภูมิ 900 องศาเซลเซียส เป็นเวลา 2 ชั่วโมง<br>ในอัตราส่วน 1:0.3  | 47   |



## บทที่ 1

### บทนำ

#### 1.1 ความเป็นมาและความสำคัญของปัญหา

ในปัจจุบันเซรามิก  $\text{LaMnO}_3$  ที่มีโครงสร้างแบบเพอร์โวฟสไกท์ (perovskite :  $\text{ABO}_3$ ) ได้รับการศึกษาอย่างกว้างขวางในช่วงหลายปีที่ผ่านมา เนื่องจากมีคุณสมบัติและศักยภาพที่สามารถนำไปประยุกต์ใช้งานได้หลากหลาย ไม่ว่าจะเป็นขั้วอิเล็กโทรดในเซลล์เชือเพลิงของสารประกอบออกไซด์แบบของแข็ง ซึ่งงานที่ได้มีความหนาแน่นสูง ทำให้ประสิทธิภาพในการใช้งานเพิ่มสูงขึ้น นอกจากนี้ยังได้รับความสนใจเป็นอย่างมากในมุมมองของการใช้เป็นตัวเร่งปฏิกิริยาไฮโดรคาร์บอนในการประยุกต์ใช้งานดังกล่าวในต้องการ  $\text{LaMnO}_3$  ที่มีขนาดอนุภาคในระดับนาโนเมตร เพื่อให้มีพื้นผิวจำเพาะสูง ก่อให้เกิดการเผาไหม้อย่างสมบูรณ์ ลดการปล่อยก๊าซที่เป็นมลภาวะ [1-3]

เนื่องด้วยคุณสมบัติดังกล่าว จึงนำไปสู่กระบวนการสังเคราะห์ผงผลึก  $\text{LaMnO}_3$  ด้วยวิธีการที่แตกต่างกันออกไป ยกตัวอย่างเช่น วิธีปฏิกิริยาสถานะของแข็ง (solid state reaction) โซล-เจล (sol-gel) การตกตะกอนร่วม (co-precipitation) การเผาไหม้อย่างรวดเร็ว (combustion) เป็นต้น ซึ่งจากรายงานการสังเคราะห์อนุภาค  $\text{LaMnO}_3$  โดยวิธีการต่างๆ พบร่วมโครงสร้างและสมบัติที่ได้มีความแตกต่างกันเมื่อใช้วิธีการสังเคราะห์ที่ต่างกัน ซึ่งสมบัติเหล่านี้ขึ้นอยู่กับองค์ประกอบหลายอย่าง เช่น ขนาดอนุภาคโครงสร้างผลึก และวิธีการสังเคราะห์ ซึ่งรวมไปถึงสารตั้งต้น อุณหภูมิ เวลา และเงื่อนไขที่ใช้ในการเตรียม นอกจากนี้ยังมีอีกหนึ่งวิธีคือปฏิกิริยาเผาไหม้แบบโซล-เจล (sol-gel combustion) โดยสามารถเกิดปฏิกิริยาอย่างต่อเนื่องได้เองที่อุณหภูมิสูง โดยไม่อาศัยแหล่งพลังงานภายนอก ซึ่งอาศัยพื้นฐานของการเกิดปฏิกิริยาเรือกซ์ แล้วความร้อนสูงอุ่นมา โดยมีอัตราการเพิ่มขึ้นของอุณหภูมิที่รวดเร็ว สารเชือเพลิงโดยทั่วไปเลือกใช้สารอินทรีย์ที่ประกอบด้วยไฮโดรเจน ราคากูก และ สามารถนำมาใช้งานโดยไม่ต้องผ่านกระบวนการเตรียม เช่น ไกลซีน ทั้งนี้สารเชือเพลิงที่เดิมลงไปจะทำหน้าที่สองส่วน ส่วนที่หนึ่งเป็นแหล่งให้คาร์บอนและไฮโดรเจน เพื่อใช้ในการเกิดปฏิกิริยาเผาไหม้แล้วให้แก่สารบอนมอนอกไซด์และน้ำอุ่นมาเป็นผลิตภัณฑ์ ส่วนที่สองสารเชือเพลิงทำหน้าที่ก่อให้เกิดสารประกอบเชิงช้อนกับไออกอนของโลหะ เพื่อก่อให้เกิดความเป็นเนื้อเดียวกันของสารละลายมากขึ้น ปฏิกิริยาที่เกิดในสารละลายทำให้สามารถควบคุมความเป็นเนื้อเดียวกันและควบคุมสัดส่วนของค่าประกอบของผลิตภัณฑ์ได้เป็นอย่างดี เป็นเทคนิคที่ค่อนข้างง่าย สะดวก รวดเร็ว อุปกรณ์หาได้ง่าย และผงผลึกมีความบริสุทธิ์สูง [4,5]

และด้วยเหตุนี้เองจึงเป็นความน่าสนใจอย่างยิ่งที่จะทำการศึกษาลึกลงของพฤติกรรมเหล่านี้ ดังนั้นงานวิจัยนี้จึงได้สังเคราะห์ผงผลึก  $\text{LaMnO}_3$  ด้วยกระบวนการปฏิกิริยาเผาไหม้โซล-เจล โดยการเติมเชือเพลิงไกลซีน เพื่อให้ได้ผงผลึกที่มีความบริสุทธิ์สูง ขนาดอนุภาคอยู่ในระดับนาโนเมตร

### 1.2 วัตถุประสงค์ของการวิจัย

1. เพื่อศึกษาการสังเคราะห์ผงผลึก LaMnO<sub>3</sub> ด้วยกระบวนการปฏิกิริยาเผาไหม้ไฮคล-เจล โดยการวิธีการสมผ่านด้วยการเติมสารเชื้อเพลิงไกลซีน
2. เพื่อศึกษาผลการเติมสารเชื้อเพลิงไกลซีน ที่มีต่อสังเคราะห์ผงผลึก LaMnO<sub>3</sub> ด้วยกระบวนการปฏิกิริยาเผาไหม้ไฮคล-เจลโดยวิธีการสมผ่านด้วยการเติมสารเชื้อเพลิงไกลซีน
3. เพื่อศึกษาโครงสร้างเฟสและโครงสร้างจุลภาคของผงผลึก LaMnO<sub>3</sub> ด้วยกระบวนการปฏิกิริยาเผาไหม้ไฮคล-เจล โดยการเติมเชื้อเพลิงไกลซีน

### 1.3 ขอบเขตการวิจัย

1. สังเคราะห์ผงผลึก LaMnO<sub>3</sub> อบที่อุณหภูมิ 400 องศาเซลเซียส เป็นเวลา 12 ชั่วโมง และเตรียมร่วมกับสารเชื้อเพลิงไกลซีนในปริมาณ 0.1 และ 0.3 มอล จากนั้นเผาแคลไชน์ที่อุณหภูมิ 600 700 800 และ 900 องศาเซลเซียส เป็นเวลา 2 ชั่วโมง
2. ศึกษาโครงสร้างเฟสและโครงสร้างจุลภาคของผงผลึก LaMnO<sub>3</sub> โดยเครื่องวิเคราะห์การเดี่ยวเบนของรังสีเอกซ์ (XRD) และกล้องจุลทรรศน์อิเล็กตรอนแบบส่องกราด (SEM)

### 1.4 สมมติฐานของการวิจัย

การสังเคราะห์ผงผลึก LaMnO<sub>3</sub> ด้วยกระบวนการปฏิกิริยาเผาไหม้ไฮคล-เจล โดยใช้สารเชื้อเพลิงไกลซีน ช่วยลดอุณหภูมิการเผาแคลไชน์ สารที่ได้มีความบริสุทธิ์ อนุภาคมีขนาดอยู่ในระดับนาโนเมตร

### 1.5 ประโยชน์ที่คาดว่าจะได้รับ

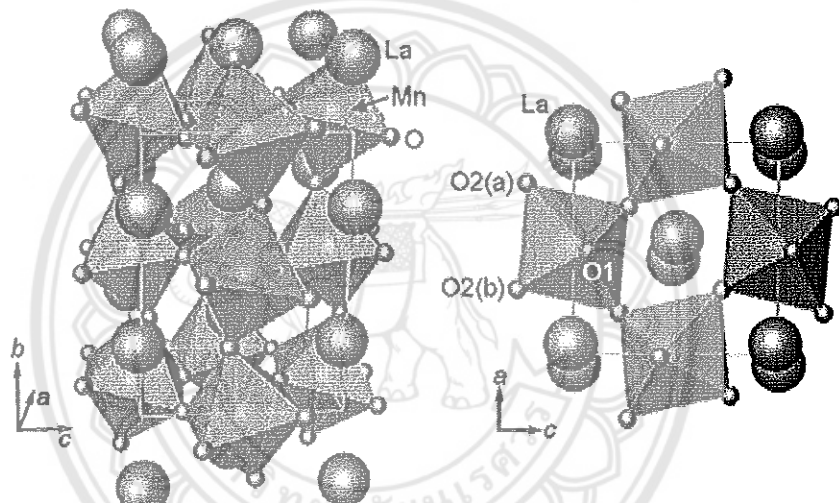
1. สามารถสังเคราะห์ผงผลึก LaMnO<sub>3</sub> ด้วยกระบวนการปฏิกิริยาเผาไหม้ไฮคล-เจล โดยการเติมเชื้อเพลิงไกลซีนที่ช่วยลดอุณหภูมิในการเผาแคลไชน์
2. ทราบถึงโครงสร้างเฟสและโครงสร้างจุลภาคของผงผลึก LaMnO<sub>3</sub> เมื่อเติมสารเชื้อเพลิงไกลซีน

## บทที่ 2

### เอกสารและงานวิจัยที่เกี่ยวข้อง

#### 2.1 โครงสร้างผลึกแلنทานัมแมงกานีสออกไซด์ [6,7,8]

แلنทานัมแมงกานีสออกไซด์เป็นสารประกอบออกไซด์ที่มีโครงสร้างแบบเพอรอพสไกต์ (perovskite) ซึ่งโครงสร้างนี้มีสูตรโดยทั่วไปคือ  $ABO_3$  ซึ่งจะเห็นว่าหน่วยเซลล์นี้มีองค์ประกอบของอะตอมที่แตกต่างกันสามชนิดโดย A และ B เป็นไอออนบวก ซึ่งมีขนาดไอออนใหญ่และเล็กตามลำดับ และ O เป็นไอออนลบซึ่งมักจะเป็นออกซิเจน



รูปที่ 2.1 โครงสร้างเพอรอพสไกต์ของแلنทานัมแมงกานีสออกไซด์ [6]

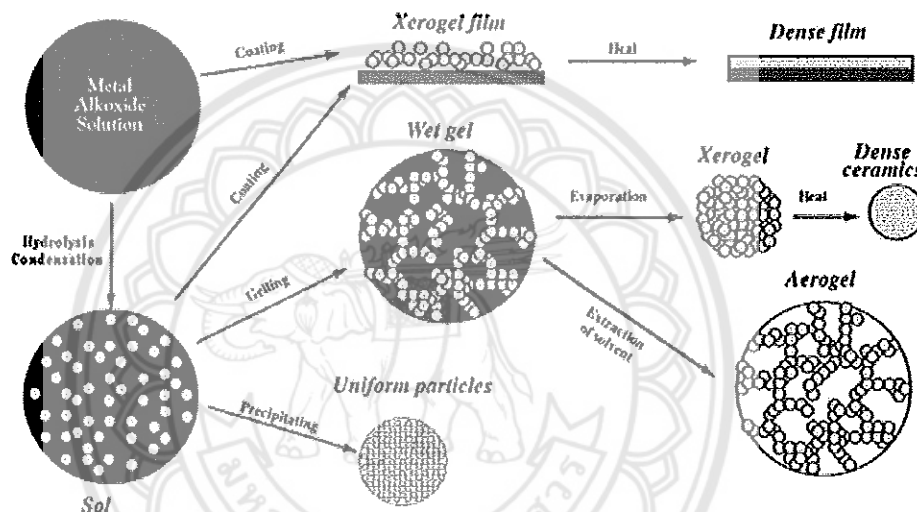
จากรูปที่ 2.1 จะเห็นว่า โครงสร้างเพอรอพสไกต์มีพื้นฐานมาจากหน่วยเซลล์แบบ face-center cubic closed packing (FCC) โดยไอออนบวก A และไอออนลบ O จะจัดเรียงโครงสร้างแบบ FCC โดยไอออนบวก A จะอยู่ที่มุมของหน่วยเซลล์ เป็นอะตอมที่มีรัศมีอะตอมขนาดใหญ่และมีค่าความเป็นประจุไฟฟ้าต่ำ เช่น  $K^+$   $Na^+$   $Ca^{2+}$   $Sr^{2+}$   $Ba^{2+}$  และ  $Pb^+$  นอกจากนี้จะมีไอออนบวก B แทรกอยู่ในช่องว่างกลางทรงแปดเหลี่ยม เป็นอะตอมที่มีรัศมีอะตอมสั้นและมีความเป็นประจุไฟฟ้าสูง เช่น  $Ta^{5+}$   $Nb^{5+}$   $Ti^{5+}$   $Zr^{4+}$  และ  $Sn^{4+}$  และไอออนลบ X อยู่ที่หน้าของหน่วยเซลล์ ซึ่งส่วนใหญ่จะพบอะตอมของ  $O^{2-}$

#### 2.2 การเตรียมเซรามิกด้วยวิธีการการโซลเจล (sol-gel) [9]

กระบวนการเตรียมโซล-เจล (sol-gel) หมายถึง การสังเคราะห์โครงสร้างแหอนินทรีย์ โดยกระบวนการทางปฏิกิริยาเคมีในสารละลาย ณ อุณหภูมิต่ำ ซึ่งคำว่าโซล-เจล มาจากการที่สามารถการ

เปลี่ยนสถานะจากของเหลวเป็นของแข็งโดยไม่จำเป็นต้องเกิดในระบบที่มีน้ำเป็นองค์ประกอบ สารตั้งต้นต้องเป็นสารอนินทรีย์ประเภทโมโนเมอร์ (monomer) หรือโอลิโกเมอร์ (oligomer) ที่สามารถเกิดปฏิกิริยาได้

เป็นกระบวนการเตรียมทางเคมีประเภทหนึ่งที่ได้รับความนิยมอย่างสูง เนื่องจากเป็นเทคโนโลยีที่มีประสิทธิภาพสูงในการผลิตชิ้นงานที่มีคุณภาพ และนอกจากนี้ยังสามารถนำไปตัดแปลงประยุกต์ใช้งานในการผลิตวัสดุได้หลายรูปแบบ เช่น สารเร่งปฏิกิริยา (catalysis) ตัวดูดซับ (absorbent) แผ่นพิล์มบาง (thin film) การฉาบผิว (coating) เป็นต้น โดยแสดงการนำไปประยุกต์ใช้งาน ดังรูปที่ 2.2



รูปที่ 2.2 แสดงแผนผังการนำกระบวนการโซล-เจลไปใช้ประโยชน์ในด้านต่างๆ [9]  
ที่มา : <https://www.gelest.com/applications/sol-gel-applications/>

คำว่า “โซล-เจล” เป็นเทอมที่มีลักษณะเฉพาะตัว และเกี่ยวโยงกับเทคนิคต่างๆ มากมายที่สามารถนำมาใช้เพื่อเตรียมสารที่มีความบริสุทธิ์สูง และมีความสม่ำเสมอเป็นเนื้อเดียวกันในระดับโมเลกุล การเตรียมผงด้วยเทคนิคโซล-เจล ต้องประกอบด้วยขั้นตอนดังนี้

1. การเตรียม “โซล” จากการผสมสารตั้งต้นที่มีขนาดอนุภาคเล็กกว่า 0.1 ไมโครเมตรชนิดต่างๆ ในปริมาณที่เหมาะสมลงในของเหลว แล้วทำให้อุณหภูมิเหล่านั้นมีการกระจายตัวไปทั่วของเหลวอย่างเสถียร

2. ทำการเปลี่ยนแปลงความเข้มข้นด้วยการระเหยของเหลวบางส่วนออกไป หรือปล่อยทิ้งไว้เป็นเวลานานหรือมีการเติมสารนำไฟฟ้า (electrolyte) ที่เหมาะสมลงไปเพื่อเหนี่ยวนำให้เกิดการสร้างพันธะที่เชื่อมต่อกันเป็นโครงข่ายต่อเนื่องในสามมิติ คล้ายคลึงกับกระบวนการเกิดพอลิเมอร์ (polymer) ซึ่งจะทำให้ตัวโซลมีความหนืดมากขึ้นเรื่อยๆ จนกลายเป็น “เจล”

### 3. ทำการระเหยของเหลวที่อยู่ในเจลออกไป (dehydration) ความแข็งแรงของเจลจะช่วยป้อง

กันไม่ให้ออตตอนย้ายตำแหน่งหรือหลุดออกไปจากกันในระหว่างที่ทำให้เจลแห้ง จึงช่วยรักษาความสม่ำเสมอและเป็นเนื้อเดียวกันในระดับโมเลกุลให้คงอยู่ นอกจากรักษาการกำจัดของเหลวออกไปจากตัวเจลในสภาพวิกฤติยิ่งขวด (supercritical) หรือสภาพวิกฤตมิติเกิน (hypercritical) นั้นแบบจะทำให้มีการหดตัวเกิดขึ้นโดย เจลที่แห้งเหลวจึงไม่มีการแน่นตัวเกิดขึ้น ทำให้มีความประจำ จึงสามารถบดย่อยเจลที่แห้งแล้วให้กล้ายเป็นผงได้จ่าย

### 4. ทำการเผาเจลที่ปราศจากน้ำให้เปลี่ยนเป็นสารประกอบตามที่ต้องการต่อไป ผงที่เตรียมได้

จากวิธีการโซล-เจล จะมีอนุภาคขนาดเล็กมาก อยู่ในช่วงประมาณ 20-50 นาโนเมตร และมีพื้นผิวมาก การเผาผองผลึกทำให้เกิดการแน่นตัวจึงสามารถกระทำได้ด้วยการใช้อุณหภูมิที่ต่ำกว่าในกรณีของผงที่เตรียมจากวิธีปฏิกริยาสถานะของแข็ง (solid state)

#### การเกิดโครงสร้างลักษณะต่างกันสามารถอธิบายได้ดังนี้

##### 1. โครงข่ายอนุภาค (particle network)

เป็นโครงข่ายที่มีการแจกแจงความหนาแน่นสูงและไม่สม่ำเสมอตลอดแนว เกิดจากการเกาะกลุ่มกันเป็นก้อนของอนุภาค โดยมีลักษณะทางเคมีของพื้นที่ผิวอนุภาคเป็นตัวกำหนดสมบัติการแขวนลอย และลักษณะโครงสร้างของการเกาะกลุ่มกันของอนุภาคด้วยเช่นกัน เนื่องจากจะส่งผลโดยตรงต่อการเกาะกลุ่มกันของอนุภาค และขนาดของแต่ละอนุภาคที่จะเกิดขึ้น

##### 2. โครงข่ายกลุ่มก้อน (aggregate network)

เป็นโครงข่ายที่มีการแจกแจงความหนาแน่นต่ำ และมีความไม่สม่ำเสมอตลอดแนวเกิดขึ้นจากการรวมกันของกระเจุกอนุภาคเป็นหย่อมๆ เป็นกรณีที่เกิดขึ้นในการเตรียมสารละลายภายใต้สภาพที่มีของแข็งตกตะกอนออกมาเป็นอนุภาคที่มีขนาดเล็กมากๆ ทำให้อนุภาคเกิดการจับตัวกันเป็นกลุ่มก้อนขึ้นในระหว่างที่มีการตกตะกอนและจะได้โครงข่ายที่มีความแข็งแรงเกิดขึ้น

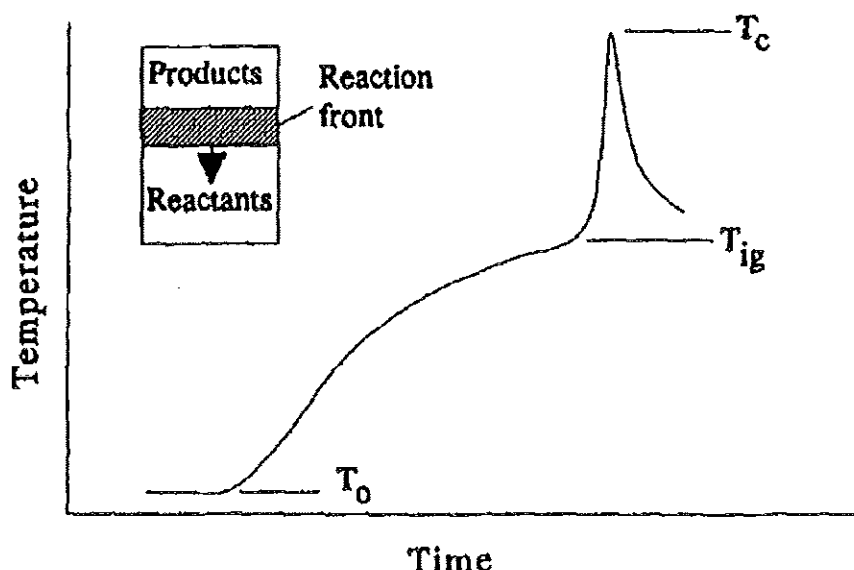
##### 3. โครงข่ายพอลิเมอร์ (polymer network)

เป็นโครงข่ายที่มีการแจกแจงความหนาแน่นต่ำ และมีความสม่ำเสมอตลอดแนว เกิดขึ้นจากการต่อเชื่อมข้ามลาย (crosslinking polymer) ของพากพอลิเมอร์ ที่มีไออกอนของโลหะที่ต้องการปนอยู่ในบางกรณีจะมีการใช้พากพอลิเมอร์ชนิดทรีฟ์ที่ประกอบด้วยชุดของพันธะโลหะกับออกซิเจนเป็นแกนกลาง

### 2.3 วิธีการสังเคราะห์แบบเผาไหม้ (combustion Synthesis) [10]

วิธีการสังเคราะห์แบบเผาไหม้ (combustion synthesis) ถูกพัฒนาขึ้นและใช้ในการสังเคราะห์และเตรียมเซรามิกส์ขั้นสูง ตัวเรื่อง วัสดุประกอบ อัลลอย สารประกอบเชิงโลหะและวัสดุนาโนมาแล้วกว่า 500 ชนิด ซึ่งวิธีนี้เป็นที่รู้จักกันในชื่อของระบบที่สามารถเกิดปฏิกิริยาอย่างต่อเนื่องได้เองที่อุณหภูมิสูง (self-propagating high-temperature synthesis; SHS) โดยไม่อาศัยแหล่งพลังงานภายนอก ซึ่งวิธีการสังเคราะห์แบบเผาไหม้มีอาศัยพื้นฐานของการเกิดปฏิกิริยาเดอกอคซ์ (redox reaction) หรือปฏิกิริยาออกซิเดชัน-รีดักชัน (oxidation-reduction reaction) ของสารตั้งต้น ที่เป็นปฏิกิริยาการคายความร้อนสูง (high exothermic reaction) และมีอัตราการเพิ่มขึ้นของอุณหภูมิที่รวดเร็ว เวลาที่ใช้ในการเกิดปฏิกิริยาสั้นมาก (ในหน่วยของวินาทีหรือนาที)

หลักการพื้นฐานของวิธีการสังเคราะห์แบบเผาไหม้ คือการให้ความร้อนแก่สารตั้งต้นที่อาจเป็นสารประกอบหรือของผสมระหว่างตัวออกซิไดส์กับสารเชื้อเพลิง จากการที่สารตั้งต้มมีความสามารถในการเกิดปฏิกิริยาเดอกอคซ์ที่มีการคายความร้อน พลังงานที่ระบบคายออกมายังอุณหภูมน้ำไปใช้ในการดำเนินไปของปฏิกิริยา และเนื่องจากในปฏิกิริยาเกิดผลิตภัณฑ์ที่มีสถานะแก๊สในปริมาณมาก ทั้งนี้จึงเป็นการป้องกันการจับตัวกันของอนุภาคไว้ ทำให้ได้ผลิตภัณฑ์เป็นผลลัพธ์ที่มีขนาดเล็ก โดยเริ่มให้ความร้อนแก่สารตั้งต้น ณ อุณหภูมิเริ่มต้น (initial temperature;  $T_0$ ) อุณหภูมิของสารตั้งต้นจะเพิ่มขึ้น จนกระทั่งถึงอุณหภูมิที่เกิดการจุดระเบิด (ignition temperature;  $T_{ig}$ ) ซึ่งเกิดปฏิกิริยาเดอกอคซ์ที่มีการคายความร้อนอย่างรุนแรง อุณหภูมิของระบบมีการเพิ่มสูงขึ้นและลดลงอย่างรวดเร็ว ณ อุณหภูมิการเผาไหม้ (combustion temperature;  $T_c$ ) เป็นจุดที่อุณหภูมิสูงที่สุด ดังแสดงในรูปที่ 2.3 ทำให้สามารถกำจัดสารประกอบอินทรีย์หรือสารปนเปื้อนอื่นที่มีจุดเดือดต่ำออกໄไปได้ (ในสถานะแก๊ส) ดังนั้นผลผลิตที่ได้จากการกระบวนการสังเคราะห์แบบเผาไหม้มีความบริสุทธิ์สูงและอนุภาคมีขนาดเล็ก



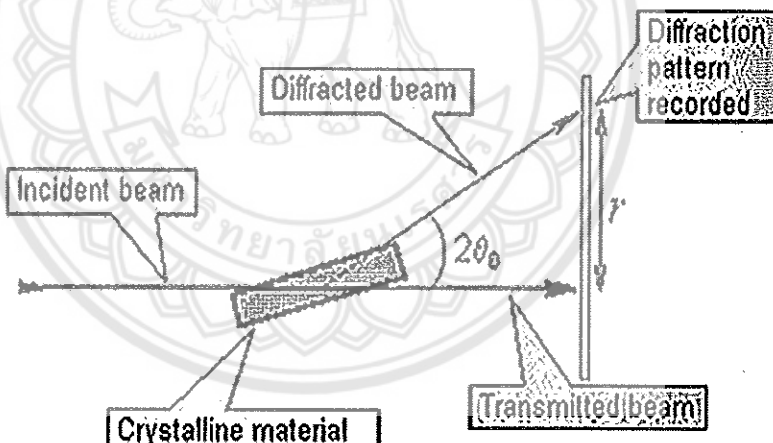
รูปที่ 2.3 ความสัมพันธ์ระหว่างอุณหภูมิกับเวลาในการเกิดปฏิกิริยาการเผาไหม้ [10]



## 2.4 เครื่องวิเคราะห์การเลี้ยวเบนของรังสีเอกซ์ (X-rays diffractometer ; XRD) [11]

หลักการทำงานของเครื่องมือวิเคราะห์การเลี้ยวเบนของรังสีเอกซ์แสดงดังรูปที่ 2.4 เป็นเครื่องมือวิเคราะห์วัสดุพื้นฐานแบบไม่ทำลาย (non-destructive analysis) เพื่อศึกษาเกี่ยวกับโครงสร้างผลึก การจัดเรียงตัวของอะตอมในโมเลกุลของสารประกอบต่างๆ ทั้งในเชิงคุณภาพและปริมาณ โดยอาศัยหลักการเลี้ยวเบนและการกระเจิงของรังสีเอกซ์ และความรู้เกี่ยวกับวิชาโครงสร้างผลึกรังสีเอกซ์ เป็นคลื่นแม่เหล็กไฟฟ้าซึ่งมีอำนาจการทะลุทะลวงสูง มีความยาวคลื่นสั้นอยู่ในช่วงระหว่าง 0.1–100 อั้งstrom การเกิดอันตรกิริยาของรังสีเอกซ์กับสารนั้นก่อให้เกิดปรากฏการณ์ต่างๆ โดยปรากฏการณ์ดังกล่าวล้วนเป็นลักษณะเฉพาะของสารแต่ละชนิด ซึ่งหลักการดังกล่าวเหล่านี้เราจึงสามารถนำมาใช้วิเคราะห์สารได้ดังนี้

- ใช้วิเคราะห์หาองค์ประกอบของธาตุต่างๆ ในสารทั้งในเชิงปริมาณและคุณภาพ
- ใช้ศึกษาหาโครงสร้างอิเล็กทรอนิกส์ ซึ่งสามารถให้ข้อมูลเกี่ยวกับการเกิดพันธะเคมี
- ใช้ศึกษาเกี่ยวกับโครงสร้างผลึก หรือโมเลกุลของสารด้วยการใช้เทคนิคการเลี้ยวเบนของรังสีเอกซ์



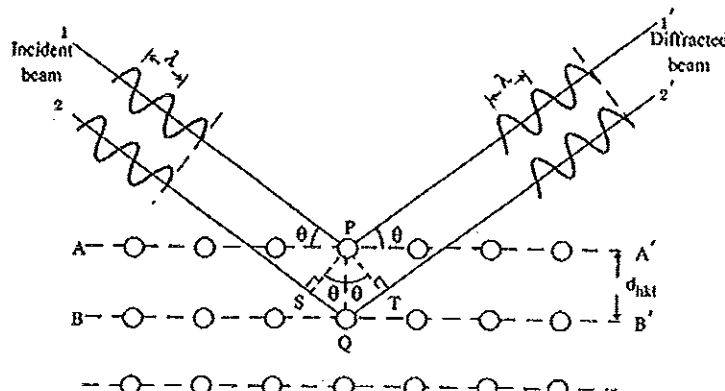
รูปที่ 2.4 หลักการทำงานเครื่องวิเคราะห์การเลี้ยวเบนของรังสีเอกซ์ (X-Ray Diffractometer) [11]

รังสีเอกซ์มีทั้งที่เกิดเองตามธรรมชาติจากการสลายตัวของนิวเคลียสราดiumมันตรังสีและที่มนุษย์ผลิตขึ้นจากกลไกทางอิเล็กทรอนิกส์ กล่าวคือ เมื่ออะตอมได้รับการกระตุ้นด้วยอิเล็กตรอนที่มีพลังงานสูงวิ่งชนอะตอม ทำให้เกิดอันตรกิริยาระดับพลังงานของอิเล็กตรอนชั้นวางโคจรต่างๆ ของอะตอมมีค่าสูงขึ้นเกิดภาวะเข้าสู่ปกติ โดยมวลของอะตอมไม่เปลี่ยนแปลงปรากฏการณ์ดังกล่าวเป็นกระบวนการปลดปล่อยพลังงานส่วนเกินในรูปคลื่นแม่เหล็กไฟฟ้าหรือไฟฟ่อนออกมายังลักษณะพัลส์ (pulse) จากอะตอมทุกครั้งที่ได้รับการกระตุ้น คลื่นแม่เหล็กไฟฟ้าที่ปลดปล่อยออกมานี้เรียกว่า “รังสี

เอกซ์” ซึ่งแบ่งได้ 2 ชนิด ตามกระบวนการของการผลิตปล่อยพลังงานส่วนเกินจากอะตอมบริเวณชั้นโคจรอิเล็กตรอน คือรังสีเอกซ์เฉพาะตัว มีลักษณะเป็นรังสีเอกซ์ที่มีพลังงานเดียว (monochromatic x-ray) เพราะเกิดจากการลดระดับพลังงานที่แน่นอน ปรากฏการณ์ของการเกิดรังสีเอกซ์ชนิดนี้เกิดขึ้น เมื่ออิเล็กตรอนหรืออนุภาคที่มีประจุนิดอื่นๆ หรือโพตอนพลังงานสูงเคลื่อนที่เข้าชนอิเล็กตรอนในวงโคจรชั้นในของอะตอม แล้วถ่ายโอนพลังงานให้อิเล็กตรอน อิเล็กตรอนชั้นในวงโคจรได้รับพลังงานเพิ่มสูงขึ้นกว่าพลังงานยืดเห็นี่ของชั้นวงโคจร ทำให้หลุดจากวงโคจรเกิดที่ว่างของอิเล็กตรอนในชั้นวงโคจรขึ้น ทำให้อะตอมอยู่ในภาวะที่ถูกกระตุ้นและจะลดระดับพลังงานลงมาให้เท่ากับพลังงานยืดเห็นี่ของวงโคจรชั้นในด้วยการปลดปล่อยพลังงานส่วนเกินออกมานิรูปรังสีเอกซ์ แล้วเข้ามาแทนที่ ซึ่งว่างของวงโคจรชั้นใน พลังงานส่วนเกินนี้จะมีค่าเท่ากับความต่างระดับพลังงานยืดเห็นี่ของวงโคจรของอิเล็กตรอน และชนิดของธาตุนั้นๆ จึงมีพลังงานเฉพาะค่ารังสีแบบต่อเนื่อง มีลักษณะเป็นรังสีเอกซ์ที่มีพลังงานต่อเนื่องกระจายจากค่าต่ำสุดถึงสูงสุด ปรากฏการณ์ของการเกิดรังสีเอกซ์ต่อเนื่องเกิดจากอิเล็กตรอนพลังงานสูงเคลื่อนเข้าสู่สนามคูลอมบ์ (coulomb field) บริเวณใกล้นิวเคลียส ความหนาแน่นของสนามไฟฟ้าถูกปรับเปลี่ยนดังกล่าวทำให้อิเล็กตรอนสูญเสียพลังงานอย่างรวดเร็วและปล่อยรังสีเอกซ์ออกมานา

ก่อนที่อิเล็กตรอนปัจมภูมิจะทำอันตรกิริยากับสนามไฟฟ้าบริเวณใกล้นิวเคลียสที่เกิดจากประจุของอะตอม อิเล็กตรอนจะสูญเสียพลังงานบางส่วน อันเนื่องจากการกระเจิงของอิเล็กตรอน ดังนั้น พลังงานของรังสีเอกซ์ที่เกิดขึ้น จึงมีค่ากระเจิงต่อเนื่องจากพลังงานต่ำสุดถึงสูงสุดของอิเล็กตรอนปัจมภูมิ ถ้าอิเล็กตรอนปัจมภูมิมีพลังงานสูงพอที่จะกระตุ้นให้อิเล็กตรอนในวงโคจรชั้นในของอะตอมหลุดออกได้ ก็จะเกิดรังสีเอกซ์เฉพาะค่าปะปนอยู่กับสเปกตรัมของรังสีเอกซ์ต่อเนื่อง ด้วยเสมอ

การปลดปล่อยรังสีเอกซ์ออกมานาที่ความยาวคลื่นใดๆ ขึ้นอยู่กับระดับพลังงานที่คายออกมานา ซึ่ง ความยาวคลื่นที่สั้นที่สุดเกิดจากการที่อิเล็กตรอนคายพลังงานที่ได้รับมาหักหมัดจากแหล่งกำเนิดโดยไม่ขึ้นกับชนิดของเป้าหมายที่ใช้ เมื่อรังสีเอกซ์ตกกระทบผิวน้ำของหลักโดยทำมุม  $\Theta$  บางส่วนของรังสีเอกซ์ จะเกิดการกระเจิงด้วยชั้นของอะตอมที่ผิวน้ำ อีกส่วนหนึ่งของลำรังสีเอกซ์จะผ่านไปยังชั้นที่ 2 ของอะตอม ซึ่งบางส่วนจะกระเจิงและส่วนที่เหลือก็จะผ่านเข้าไปยังชั้นที่ 3 ของอะตอมดังรูปที่ 2.5



### รูปที่ 2.5 แบบจำลองสำหรับการพิสูจน์กฎของแบร์ก์ [11]

ถ้าอะตอมในผลึกมีการจัดเรียงตัวอย่างไม่เป็นระเบียบและมีระยะห่างระหว่างอะตอมเท่าๆ กัน ลำรังสีเอกซ์ที่ผ่านเข้าไปในแต่ละชั้นของอะตอมจะเกิดการเลี้ยวเบนเป็นลักษณะก้น สิ่งสำคัญในการเกิด

การเลี้ยวเบนของรังสีเอกซ์ขึ้นอยู่กับภาระ 2 ประการ คือ

1. รังสีที่ตกกระทบ รังสีเลี้ยวเบน และเส้นตั้งฉากกับผิวน้ำจะต้องอยู่ในระนาบเดียวกัน
2. ระยะห่างระหว่างชั้นของอะตอมควรมีค่าใกล้เคียงกับความยาวคลื่นของรังสีเอกซ์ เมื่อปี ค.ศ. 1912 แบร์ก์ได้ยิงลำรังสีเอกซ์แคบๆ กระทบผิวน้ำผลลัพธ์เป็นมุนเพื่อให้เกิด

การ

เลี้ยวเบนและการกระเจิงเมื่อเกิดอันตรกิริยา กับอะตอม O, P และ R ถ้า

$$SQ + QT = n\lambda \quad (2.1)$$

เมื่อ  $n$  คือ จำนวนเต็ม รังสีที่กระเจิงจะอยู่ในเฟสที่ OCD ผลึกจะทำหน้าที่สะท้อนรังสีเอกซ์ จะเห็นว่า

$$SQ = QT = d \sin \theta \quad (2.2)$$

เมื่อ  $d$  คือ ระยะห่างระหว่างชั้นของผลึก เขียนสนการใหม่ได้ว่า

$$n\lambda = 2d \sin \theta \quad (2.3)$$

เรียกสมการนี้ว่า สมการของแบร์ก์ (Bragg's equation) ซึ่งมีประโยชน์มาก สำหรับการศึกษาที่มีโครงสร้างเป็นระเบียบ เช่น สารที่มีโครงสร้างเป็นผลึกเดียว (single crystal) และผลึกเชิงซ้อน (polycrystalline) เพราะในสารแต่ละชนิดจะมีรูปแบบการเรียงตัวของอะตอมเป็นลักษณะเฉพาะเมื่อเราทราบถึงค่ามุมที่เกิดการเลี้ยวเบนไปของรังสีเอกซ์เมื่อชนกับอะตอมของสาร เราจะทราบถึงระยะห่างระหว่างแต่ละอะตอมของสารนั้นๆ จึงเป็นประโยชน์อย่างมากในการวิเคราะห์หาชนิดของสาร (qualitative analysis) รวมไปถึงสมบัติทางกายภาพของสารนั้นๆ อีกด้วย

การคำนวณหาค่าคงที่แลตทิช  $c, a$  และค่าอัตราส่วน  $\frac{c}{a}$  สามารถทำได้โดยอาศัยข้อมูลจากเครื่องเอกซเรดิฟแฟร์กชัน และจากสมการที่ (2.4)

$$\frac{1}{d_{hkl}^2} = \frac{h^2}{a^2} + \frac{k^2}{b^2} + \frac{l^2}{c^2} \quad (2.4)$$

ในระบบเตตระโภนอลนั้น ค่าแลตทิช  $a$  มีค่าเท่ากับแลตทิช  $b$  แต่ไม่เท่ากับแลตทิช  $c$  ( $a = b \neq c$ ) ดังนั้น จากสมการข้างต้น เวียนใหม่ได้เป็น

$$\frac{1}{d_{hkl}^2} = \frac{h^2 + k^2}{a^2} + \frac{l^2}{c^2} \quad (2.5)$$

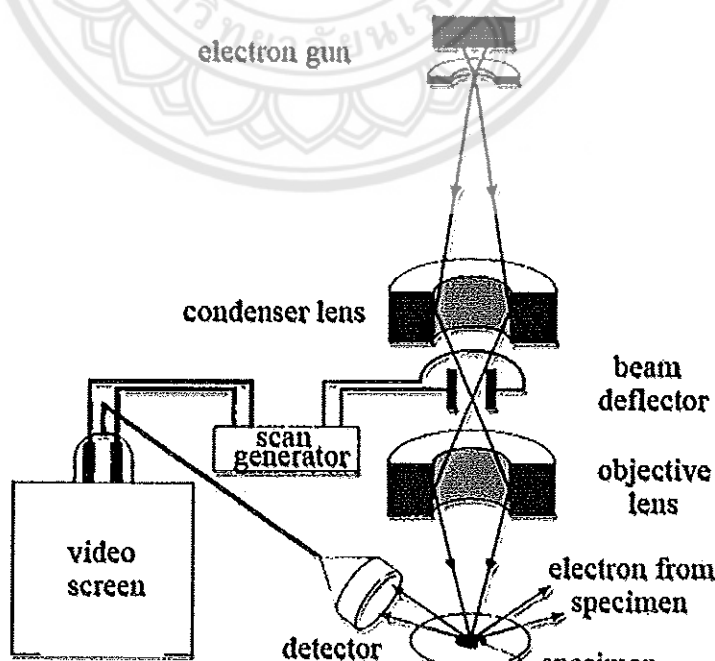
หรือ

$$\frac{1}{d_{hkl}^2} = (h^2 + k^2) + \frac{l^2}{(c/a)^2} \quad (2.6)$$

สำหรับเดตไหหานเนตสามารถคำนวณหาค่าอัตราส่วน  $\frac{c}{a}$  ได้โดยนำค่า d-spacing  $d_{002}$  และ  $d_{200}$  มาคำนวณตามสมการ (2.7)

$$c/a = \frac{d_{002}}{d_{200}} \quad (2.7)$$

## 2.5 กล้องจุลทรรศน์อิเล็กตรอนแบบส่องกราด (scanning electron microscope; SEM) [12]



รูปที่ 2.6 หลักการทำงานกล้องจุลทรรศน์อิเล็กตรอนแบบส่องกราด (SEM) [12]

เนื่องจากกล้องจุลทรรศน์เลนส์ประกอบทั้งแบบใช้แสงธรรมชาติและใช้รังสีแบบอื่นๆ มีข้อจำกัดในการขยายภาพ เพราะกำลังขยายและกำลังแยกของกล้องจุลทรรศน์เลนส์ประกอบสามารถมีกำลังแยกของส่องดูดที่ดูดสุดได้เพียง 0.2 ไมโครเมตรเท่านั้น ส่วนกำลังขยายรวมก็ไม่เกิน 2,000 เท่า จึงยังมองไม่เห็นวัตถุภายในเซลล์ที่มีขนาดเล็กเป็นจุด ไม่สามารถแยกรายละเอียดได้ว่าส่วนนั้นเป็นอะไร ต่อมาจึงได้มีการนำเอาอิเล็กตรอนซึ่งมีช่วงคลื่นสั้นกว่าคลื่นของแสงมาก เข้ามาใช้ในกล้องจุลทรรศน์แทนคลื่นแสง และใช้เลนส์แม่เหล็กแทนเลนส์กระจาก เรียกกล้องดังกล่าวว่า กล้องจุลทรรศน์อิเล็กตรอนดังแสดงในรูปที่ 2.6 ดังนั้นกล้องจุลทรรศน์อิเล็กตรอนแบบส่องกราดเป็นกล้องที่ใช้ศึกษาโครงสร้างหรือองค์ประกอบพื้นผิวของเซลล์เนื้อเยื่อและวัตถุได้ โดยทำให้องค์ประกอบต่างๆ ของเซลล์หรือวัตถุให้มีความเข้มของเงาแตกต่างกัน

หลักการเกิดภาพของกล้องจุลทรรศน์อิเล็กตรอนแบบส่องกราดอิเล็กตรอนปฐมภูมิ (primary electron) จากแหล่งกำเนิดอิเล็กตรอน (electron gun) จะถูกเร่งด้วยศักย์ไฟฟ้าสูง (1,000 ถึง 3,000 อิเล็กตรอนโวลท์ หรือมากกว่า) ที่สามารถปรับค่าได้ จากนั้นจึงถูกดึงดูดลงสู่เบื้องล่างโดยแผ่นแอนโอด (Anode plate) ภายใต้ภาวะความดันสูญญากาศ  $10^{-5}$ – $10^{-7}$  ทอร์ และมีชุดค้อนเดนเซอร์เลนส์ที่จะปรับลำอิเล็กตรอน (Electron beam) ให้มีขนาดเล็กลงเพื่อเป็นการเพิ่มความเข้มแสงของลำอิเล็กตรอน จากนั้นลำอิเล็กตรอนจะวิ่งลงสู่เบื้องล่างผ่านเลนส์วัตถุ ซึ่งทำหน้าที่ในการปรับ 10 ลำอิเล็กตรอนปฐมภูมิให้มีจุดโฟกัสบนผิวตัวอย่างพอดี และลำอิเล็กตรอนที่ตัดกระหบบผิววัตถุหรือตัวอย่างจะมีขนาดในอยู่ระหว่าง 5-200 นาโนเมตร โดยมีชุดดัด漉ควบคุมการส่องกราด (scan coil) ของลำอิเล็กตรอนทำหน้าที่ในการควบคุมทิศทางการเคลื่อนที่ของลำอิเล็กตรอนบนผิวตัวอย่าง ซึ่งผู้ใช้สามารถกำหนดได้โดยผ่านทางชุดควบคุม (control unit) ขณะที่ลำอิเล็กตรอนกระหบบผิวตัวอย่างจะเกิดอันตรกิริยา (interaction) ระหว่างอิเล็กตรอนปฐมภูมิกับอะตอมธาตุในวัตถุหรือตัวอย่างและเกิดการถ่ายโอนพลังงานที่ชั้นความลึกจากพื้นผิวที่ระดับต่างๆ ทำให้เกิดการปลดปล่อยสัญญาณอิเล็กตรอน (electron signal) ชนิดต่างๆ ออกมายังใช้ประโยชน์ในการศึกษาลักษณะผิวของตัวอย่างและวิเคราะห์ธาตุที่มีในตัวอย่างได้ตามลักษณะสัญญาณภาพที่ได้จากสัญญาณอิเล็กตรอนชนิดต่างๆ ที่เกิดขึ้น คือ

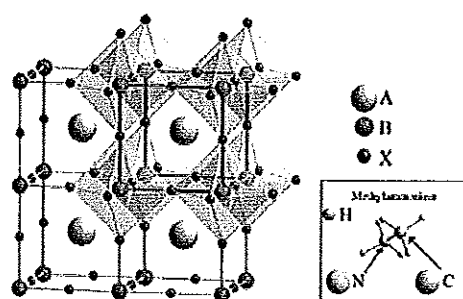
(1) สัญญาณภาพจากอิเล็กตรอนทุติยภูมิ (secondary electron image, SEI) หรือเป็นอิเล็กตรอนพลังงานต่ำ 3-5 อิเล็กตรอนโวลท์ เกิดที่พื้นผิวระดับไมลีก (ไม่เกิน 10 นาโนเมตร) โดยเกิดกับธาตุที่มีแรงยึดเหนี่ยวอิเล็กตรอนที่ผิวต่างๆ

(2) สัญญาณภาพจากอิเล็กตรอนกระเจิงกลับ (backscattered electron image, BEI) หรือเป็นกลุ่มอิเล็กตรอนที่สูญเสียพลังงานให้กับอะตอมในชั้นงานเพียงบางส่วนและกระเจิงกลับออกมายังพื้นผิวที่มีพลังงานสูงกว่าอิเล็กตรอนทุติยภูมิ เกิดที่พื้นผิวระดับลึกกว่า 10 นาโนเมตร โดยเกิดได้กับธาตุที่มีเลขอะตอมสูง

(3) สัญญาณภาพจากรังสีเอกซ์ (x-ray image, XRI) ชนิดที่เป็นรังสีเอกซ์เฉพาะทั่วเป็นคลื่นแม่เหล็กไฟฟ้าที่เกิดจากอิเล็กตรอนในระดับชั้นโคจรต่างๆ (K, L, M,...) ถูกกระตุ้น (excited) หรือได้รับพลังงานมากพอนหลุกออกจากการออกมา ทำให้อะตอมต้องรักษาสมดุลของโครงสร้างรวมภายในอะตอม โดยการดึงอิเล็กตรอนจากชั้นวงโคจรถัดไปเข้ามาแทนที่และต้องลดพลังงานส่วนเกินออกมาในรูปคลื่นแม่เหล็กไฟฟ้าเพื่อทำให้ตัวเองมีพลังงานเท่ากับชั้นโคจรที่แทนที่ ซึ่งคลื่นแม่เหล็กไฟฟ้านี้มีความยาวคลื่นเฉพาะในแต่ละธาตุตามระดับพลังงานของตัวอย่างได้ทั้งเชิงปริมาณและคุณภาพ สัญญาณภาพจากอิเล็กตรอนเหล่านี้จะถูกเปลี่ยนมาเป็นสัญญาณภาพประกายบนจอรับภาพได้โดยต้องเลือกใช้อุปกรณ์ในการวัดให้เหมาะสมกับสัญญาณแต่ละชนิด โดยทั่วไปสัญญาณอิเล็กตรอนทุติยภูมิใช้ตัวตรวจวัดชนิดพลาสติกเรืองแสง (plastic scintillation detector) สัญญาณภาพจากอิเล็กตรอนกระแสเจิงกลับจะใช้ตัวตรวจวัดที่เป็นสารกั่งตัวนำชนิดรอยต่อฟีอีเอ็น (PN junction detector) หรือตัวตรวจวัดชนิดโรบินสัน (robinson detector) และในสัญญาณภาพจากรังสีเอกซ์ จะใช้หัวดรีริงสีชนิดสารกั่งตัวนำประเทจิลิคอนลิเทียม ( lithium drifted silicon, Si (Li) ) ทำงานร่วมกับอุปกรณ์ในการวิเคราะห์พลังงานของรังสีเอกซ์เฉพาะทั่วซึ่งอุปกรณ์วิเคราะห์นั้นมีทั้งแบบช่องเดียว (single channel analyzer, SCA) และอุปกรณ์วิเคราะห์แบบหลายช่อง (multi channel analyzer, MCA)

## 2.6 โครงสร้างเพอร์โวสไกท์ (Perovskite structure) [13]

เป็นชื่อทั่วไปที่ใช้เรียกวัสดุที่มีโครงสร้างโดยทั่วไป คือ  $ABX_3$  (รูปที่ 2.7) โดยที่สารดังกล่าวมีโครงสร้างคล้าย  $\text{CaTiO}_3$  ซึ่งค้นพบโดยครั้งแรกโดย Gustav Rose นักธรณีวิทยาชาวรัสเซีย และตั้งชื่อเป็นเกียรติให้แก่ Lev Perovskite นักธรณีวิทยาที่มีชื่อเสียงชาวรัสเซีย ซึ่งในโครงสร้าง  $ABX_3$  นั้น B คือไอออนบวกของโลหะ เช่น  $\text{Pb}, \text{Sn}$  ในขณะที่ X คือ อะตอมเชิง负载และ A คือไอออนบวกที่ทำหน้าที่ดูดประจำให้เป็นกลาง (ซึ่งอาจจะมาจากโลหะหรือสารไฮดรคาร์บอน) ซึ่งวัสดุ perovskite ดังกล่าว มีมากกว่า 100 ชนิด ทั้งแบบอนินทรีย์และแบบไฮบริด มีการแทนที่ไอออนบวก (หมู่ A ในสูตร  $ABX_3$  ด้วยสารอินทรีย์) และมีคุณสมบัติที่โดดเด่นหลายประการ เช่น antiferromagnetic, piezoelectric, thermoelectric, semiconducting, conducting, และ superconducting



รูปที่ 2.7 โครงสร้างผลึกของ perovskite [13]

## 2.7 เซลล์เชื้อเพลิงของแข็งออกไซด์ (solid oxide fuel cell, SOFC) [14]

เซลล์เชื้อเพลิงชนิดนี้มีเซรามิก เกือบทั้งหมดเป็นองค์ประกอบ และไม่จำเป็นต้องใช้แพลทินัมเป็นตัวเร่งปฏิกิริยา แต่ต้องใช้อุณหภูมิสูงในการทำงาน โดยมีอุณหภูมิการทำงานสูงกว่า 800 องศาเซลเซียส การทำงานที่อุณหภูมิสูงมีข้อดีคือ ไม่มีปัญหาน้ำท่วมเซลล์ และทำให้สามารถใช้เชื้อเพลิงได้หลากหลายชนิด เช่น ก๊าซธรรมชาติ น้ำมันดีเซล ไบโอดีเซล โพรูฟิน น้ำมันเบนซิน และถ่านหิน แต่การทำงานที่อุณหภูมิสูงมีข้อเสียคือ ปัญหาการสร้างหัววัสดุที่ทนอุณหภูมิสูงสำหรับส่วนประกอบต่างๆ ของระบบเซลล์เชื้อเพลิง การเพิ่มค่าใช้จ่ายจากการใช้ชั้นวนเก็บความร้อน และการเสียเวลาและพลังงานในการเพิ่มอุณหภูมิของระบบเซลล์เชื้อเพลิง ดังนั้นหลักสำคัญของงานวิจัยและพัฒนาของเซลล์เชื้อเพลิงชนิดนี้คือ การลดอุณหภูมิการทำงานลง รูปแบบการเรียงต่อกันของเซลล์ของเซลล์เชื้อเพลิงของแข็งออกไซด์ที่นิยมมี 2 แบบคือ

### 2.7.1 เซลล์เชื้อเพลิงของแข็งออกไซด์แบบแผ่น (planar stack)

ส่วนประกอบทุกส่วนในเซลล์เชื้อเพลิงเป็นแผ่นเรียบ มีอินเตอร์คอนเนคท์หน้าที่เป็นขั้วเชื่อมต่อระหว่างเซลล์ ข้อดีของเซลล์เชื้อเพลิงแบบนี้คือ ประหยัดเนื้อที่และมีค่าความหนาแน่นของกำลังไฟฟ้าต่อบริมាពรุส แต่มีข้อเสียที่สำคัญคือ การป้องกันการรั่วของก๊าซระหว่างขั้วไฟฟ้าห้องต้องใช้วัสดุกันรั่วที่เป็นชั้นวน ทนอุณหภูมิสูงได้โดยไม่ทำปฏิกิริยาทั้งกับเชื้อเพลิง อากาศ และวัสดุอื่นๆ ของเซลล์เชื้อเพลิง มีค่าสัมประสิทธิ์การขยายตัวเชิงความร้อนใกล้เคียงกับส่วนอื่นๆ ของเซลล์ และคงรูปได้ทั้งตอนลดและเพิ่มอุณหภูมิการทำงาน ปัญหาที่ยากที่สุดในการสร้างเซลล์เชื้อเพลิงของแข็งออกไซด์แบบแผ่นนี้คือการสร้างหัววัสดุกันรั่วที่มีคุณสมบัติครบถ้วนและราคาถูก

### 2.7.2 เซลล์เชื้อเพลิงของแข็งออกไซด์แบบท่อ (tubular stack)

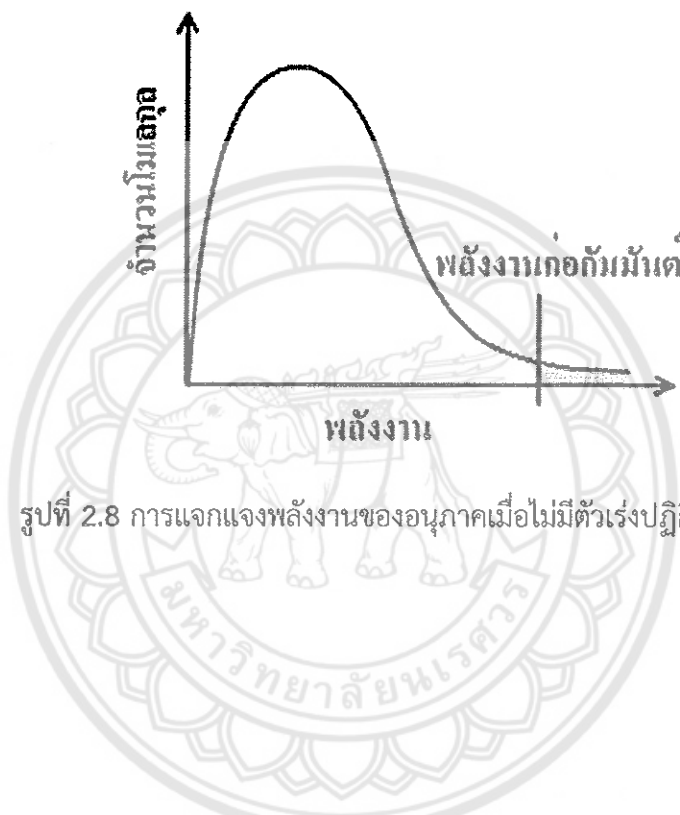
เซลล์เชื้อเพลิงแบบนี้เพื่อแก้ปัญหาของวัสดุกันรั่วของเซลล์เชื้อเพลิงของแข็งออกไซด์แบบแผ่น รูปร่างของห้องท่อเป็นห้องกลางโดยมีขั้วแคโทಡอยู่ด้านในและขั้วแอนโอดอยู่ด้านนอก และมีอิเล็กโทรไลต์กันอยู่ระหว่างขั้ว เชื้อเพลิงจะถูกส่งผ่านไปที่ห้องด้านนอกและก๊าซออกซิเจนส่งผ่านไปที่ห้องด้านใน เซลล์เชื้อเพลิงแบบนี้มีประสิทธิภาพการทำงานที่คงที่เป็นระยะเวลานานกว่าแบบแผ่น แต่เซลล์เชื้อเพลิงแบบนี้มีค่าใช้จ่ายสูงและความหนาแน่นกำลังไฟฟ้าต่อกันที่และต่อบริมាពรุสต่ำกว่าแบบแผ่น

## 2.8 ตัวเร่งปฏิกิริยา (catalyst) [15]

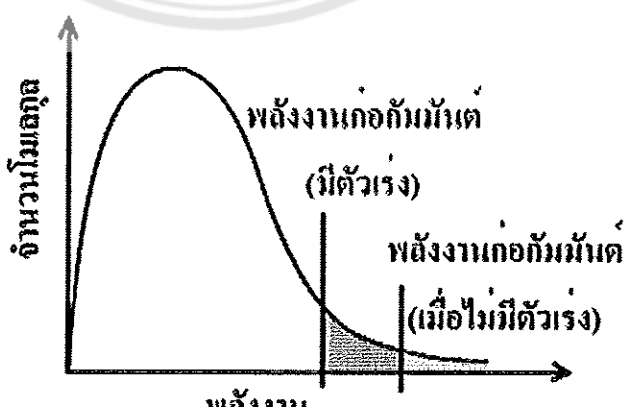
ตัวเร่งปฏิกิริยา (catalyst) ในบางกรณี การเพิ่มอัตราการเกิดปฏิกิริยาโดยเพิ่มอุณหภูมิ หรือความเข้มข้นของสารตั้งต้นอาจไม่เหมาะสมในเชิงปฏิบัติ วิธีที่เหมาะสมที่สุดคือ การเติมตัวเร่งปฏิกิริยาลงไป เช่น การเติมแก๊สออกซิเจน ( $O_2$ ) จากการเผาไฟฟ้าโซเดียมคลอเรต ( $KClO_3$ ) จะได้  $O_2$  ค่อนข้างช้า ถ้าเราเติมแมงกานีสไดออกไซด์ ( $MnO_2$ ) ลงไปด้วย  $MnO_2$  จะช่วยเร่งให้เกิด  $O_2$  ได้เร็วขึ้น แต่สุดท้ายแล้วมันเองจะไม่มีการเปลี่ยนแปลง มีเพียง  $KClO_3$  เท่านั้นที่เปลี่ยนเป็นผลิตภัณฑ์ คือ  $KCl$  และ  $O_2$  เราจึงให้ความหมายของตัวเร่งปฏิกิริยาว่าเป็นสารที่ทำให้อัตราการเกิดปฏิกิริยาสูงขึ้น

โดยที่สารตัวเร่งปฏิกิริยาสามารถกลับคืนสู่รูปเดิมได้ ตัวเร่งปฏิกิริยาอาจจะเข้าทำปฏิกิริยาแล้วเกิดเป็นสารมัลยันต์ (intermediate) แต่ก็จะกลับคืนรูปเดิมได้ในปฏิกิริยาอย่างขั้นต่อๆ ไป

การอธิบายว่าตัวเร่งปฏิกิริยาเป็นปัจจัยที่มีผลต่ออัตราการเกิดปฏิกิริยา ก็ยังคงต้องใช้ทฤษฎีการชน และрафการกระจายอนุภาคของแมกซ์เวล-โบลซ์มันน์เช่นเดียวกับการเปลี่ยนแปลงอุณหภูมิ ดังนี้



รูปที่ 2.8 การแจกแจงพลังงานของอนุภาคเมื่อไม่มีตัวเร่งปฏิกิริยา [15]



รูปที่ 2.9 การแจกแจงพลังงานของอนุภาคเมื่อมีตัวเร่งปฏิกิริยา [15]

รูปที่ 2.8 คือการแจกแจงพลังงานของอนุภาคเมื่อไม่มีตัวเร่งปฏิกิริยา ส่วนรูปที่ 2.9 เป็นกราฟการแจกแจงพลังงานของอนุภาคเมื่อมีตัวเร่งปฏิกิริยา จะสังเกตได้ว่ามีบางอย่างเปลี่ยนไป สิ่งที่

เปลี่ยนไปเกิดคือ ตำแหน่งของพลังงานก่อการมั่นต์เลื่อนมาทางซ้ายมากขึ้น จำนวนอนุภาคทางขวาของ พลังงานก่อ ก่อการมั่นต์มากขึ้น จึงเพิ่มโอกาสให้อนุภาคเกิดปฏิกิริยามากขึ้น ดังนั้นการใช้ตัวเร่ง ปฏิกิริยาจึงทำให้อัตราการเกิดปฏิกิริยาเพิ่มมากขึ้นนั่นเอง

ตัวเร่งปฏิกิริยาไม่ได้เป็นตัวลดหรือทำให้พลังงานก่อการมั่นต์ลดลง แต่เป็นวิถี (pathway) หรือเส้นทางเลือกซึ่งมีพลังงานก่อการมั่นต์ต่ำกว่าพลังงานก่อการมั่นต์เดิม ที่กล่าวเช่นนี้ได้ก็ เพราะ อนุภาคที่มีพลังงานสูง ถึงสามารถชนกันแล้วเกิดปฏิกิริยาที่สภาวะเดิมที่ไม่มีตัวเร่งปฏิกิริยาได้

ถ้าพิจารณากราฟการเปลี่ยนแปลงพลังงานเมื่อปฏิกิริยาดำเนินไป จะเป็นดังด้านอย่าง ต่อไปนี้

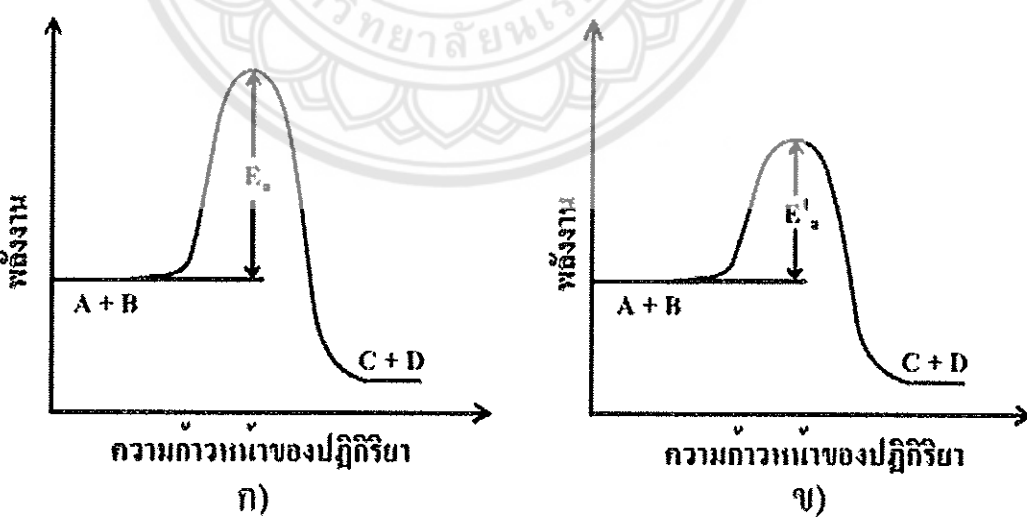
สมมติว่าปฏิกิริยา มีค่าคงที่อัตราเป็น  $k$  และมีพลังงานก่อการมั่นต์เป็น  $E_a$  ดังสมการ



ถ้าใส่ตัวเร่งปฏิกิริยาลงไปด้วย จะได้ค่าคงที่อัตราเป็น  $k_c$  ซึ่งเรียกว่า ค่าคงที่อัตราเมื่อถูกเร่ง (catalytic rate constant)



อัตราการเกิดปฏิกิริยาที่ถูกเร่งจะสูงกว่าอัตราการเกิดปฏิกิริยาที่ไม่มีตัวเร่ง เพราะตัวเร่งปฏิกิริยาจะช่วยเพิ่มเส้นทางที่มีพลังงานก่อการมั่นต์ของปฏิกิริยาลดลง ทำให้อัตราการเกิดปฏิกิริยาสูงขึ้น แต่พลังงานรวมของสารตั้งต้นและสารผลิตภัณฑ์จะไม่เปลี่ยนแปลง ดังแสดงในกราฟ



รูปที่ 2.10 กราฟแสดงการเปรียบเทียบพลังงานก่อการมั่นต์ของปฏิกิริยา ก) เมื่อไม่มีตัวเร่งปฏิกิริยา

ข) เมื่อมีตัวเร่งปฏิกิริยา [15]

จากรูปที่ 2.10 จะเห็นได้ว่า พลังงานก่อภัยมันต์  $E_a$  ลดลงเป็น  $E'_a$  และพลังงานก่อภัยมันต์ลดลงทั้งปฏิกิริยาที่เกิดไปข้างหน้าและย้อนกลับ ดังนั้นตัวเร่งปฏิกิริยาจึงเพิ่มอัตราการเกิดปฏิกิริยาทั้งปฏิกิริยาที่เกิดไปข้างหน้าและปฏิกิริยาที่เกิดย้อนกลับ

## 2.9 การบดย่อยแบบลูกบด [16]

เป็นกระบวนการการบดย่อยอนุภาคของวัตถุดิบที่อาศัยการหมุนหม้อบด ซึ่งเป็นแท่งกลวงทรงกระบอกที่มีฝาปิด-เปิดได้อยู่ที่ปลายด้านหนึ่งในแนวอน หม้อบดส่วนใหญ่ที่นิยมใช้งานกันในระดับห้องปฏิบัติการ มักจะทำด้วยกระปองพลาสติกแบบง่ายๆ ที่สามารถกำจัดเศษพลาสติกที่ปนเปื้อนมา กับการบดย่อยได้ด้วยการเผาที่อุณหภูมิต่ำ หรือในบางกรณีก็จะใช้หม้อบดเซรามิกที่ทำด้วยพอร์ซเลน

ก่อนที่จะทำการหมุนหม้อบดจะต้องมีการใส่วัตถุดิบที่ต้องการจะลดขนาด หรือที่เรียกว่า ประจุ (charge) พร้อมกับลูกบด (ball) หรือลูกบด (grinding media) และสารเติมแต่งอื่นๆ เช่นสารเจือ หรือสารช่วยหล่อลื่น เป็นต้น ลงไปในปริมาณที่เหมาะสมกับขนาดของหม้อบดโดยจะต้องพยายามปรับอัตราส่วนขององค์ประกอบเหล่านี้ในหม้อบด ให้ระบบหั่นชุดสามารถเกิดพฤติกรรมการบดย่อย กล่าวคือ ลูกบดจะต้องมีการเคลื่อนที่คล้ายๆ กับตัวอักษร D โดยมีการเคลื่อนที่ไล่เรียงกันจากตำแหน่ง B ขึ้นไปจนถึงตำแหน่ง A แล้วตกลงมากระแทกกับวัสดุด้านล่าง จากนั้นก็มีการหมุนเบียดเสียดกัน และมีการเลื่อนไหหลเป็นวัฏจักรเช่นนี้เรื่อยไป ทำให้ออนุภาคของวัตถุดิบมีขนาดลดลงเนื่องจากลูกกระแทกด้วยลูกบด ถูกขัดสีระหว่างลูกบด และระหว่างลูกบดกับผนังของหม้อบด ในขณะที่พุ่งติดรวมต่างๆ เหล่านี้สามารถช่วยทำให้ขนาดของอนุภาคลดลง

## 2.10 กระบวนการให้ความร้อนกับสารเซรามิก [17]

สารเซรามิกเป็นวัสดุอนินทรีย์ ที่ประกอบไปด้วยธาตุที่เป็นโลหะและไมโลหะ โดยเกิดพันธะไอออนิกและพันธะโค瓦เลนต์ร่วมกัน โดยทั่วไปสารเซรามิกจะมีสมบัติที่แข็งและเประมีแข็งแรงน้ำยิ่ง เพราะพันธะเคมีที่แข็งแรงทำให้มีจุดหลอมเหลวค่อนข้างสูง ทนต่อการกัดกร่อนได้ เป็นอนุวัติไฟฟ้าและอนุนความร้อนที่ดี เพราะไม่มีอิเล็กตรอนอิสระ การให้ความร้อนกับสารเซรามิกเป็นกระบวนการที่ทำให้สารเซรามิกมีโครงสร้างที่ตามที่ต้องการ

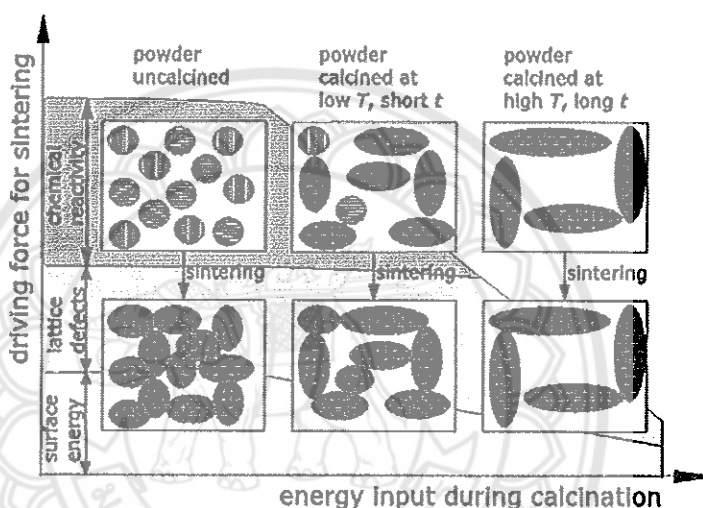
### 2.10.1 การแคลเซอเนชัน (calcination)

เป็นกระบวนการให้ความร้อนกับสารที่เป็นผง เพื่อให้วัสดุเกิดการแยกส่วน เกิดการเปลี่ยนเฟส หรือเพื่อขับไล่ออกค์ประกอบของสารตั้งต้นที่ไม่ต้องการออกไป เช่น การทำให้คาร์บอนไดออกไซด์หลุดออกจากโครงสร้าง หรือการทำให้น้ำระเหยออกไป

### 2.10.2 การซินเตอร์ริ่ง (sintering)

เป็นกระบวนการให้ความร้อนหรือความดันกับวัสดุ ทำให้ออนุภาคเกิดการสร้างพันธะเชื่อมต่อกัน ทำให้โครงสร้างแน่นมีความแข็งแรงมากขึ้น โดยที่วัสดุไม่เกิดการหลอม และยังสามารถกำจัดรูพรุนที่อยู่ระหว่างออนุภาคออกไปได้ด้วย โดยความร้อนที่ให้จะทำให้เกิดการหดตัวขององค์ประกอบที่อยู่ติดกันแล้วเชื่อมต่อกัน ทำให้เกิดการเติบโตของโครงสร้างไปด้วยกัน การให้ความร้อนแบบนี้จะช่วยให้วัสดุมีความเนียนยว ไม่เปราะหักง่าย

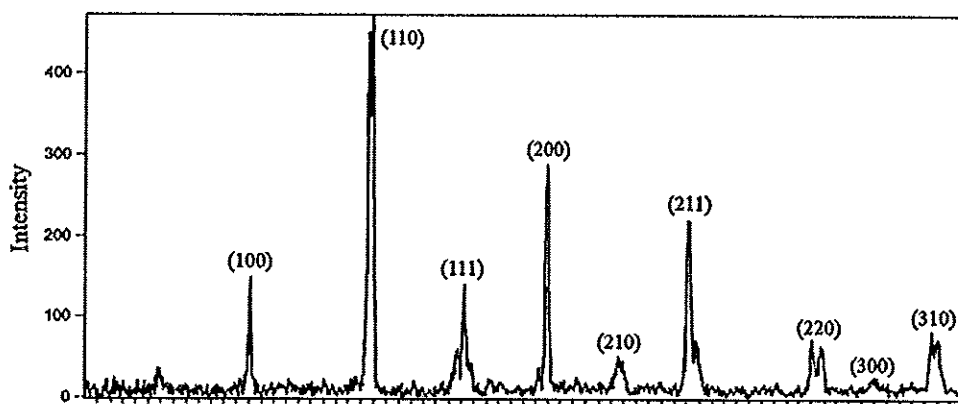
โดยความแตกต่างระหว่างการแคลเซอไซน์และการซินเตอร์ริ่งแสดงดังรูปที่ 2.11



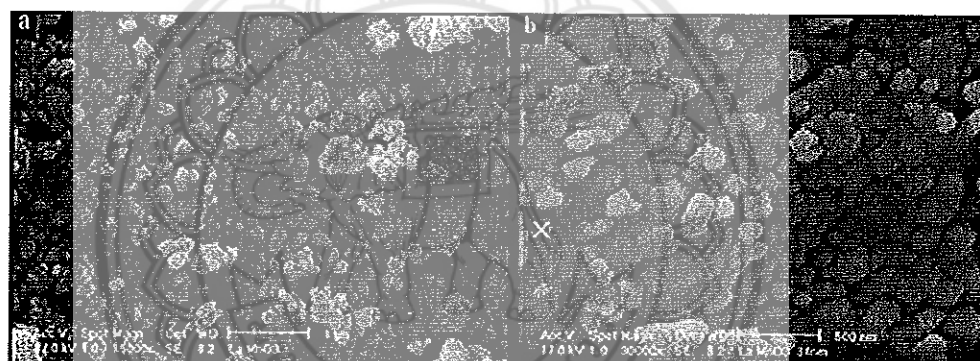
รูปที่ 2.11 แสดงความแตกต่างระหว่างการเผาแคลเซอไซน์และซินเตอร์  
พื้นมา : <https://link.springer.com/article/10.1007/s10832-018-0124-3>

### 2.11 งานวิจัยที่เกี่ยวข้อง

ในปี 2013 Maryam Shaterian และคณะ [18] ได้สังเคราะห์ผงผลึก LaMnO<sub>3</sub> ด้วยกระบวนการโซล-เจล โดยใช้กรดสเตียริกเป็นสารเร่งปฏิกิริยา จากการวิเคราะห์ด้วยเทคนิคการเลี้ยวเบนของรังสีเอกซ์ พบร่วม LaMnO<sub>3</sub> มีความบริสุทธิ์ โครงสร้างเป็นเพอโรฟสไกเตอร์แบบรวมใบยี่ดรัล (rhombohedral) มีขนาดออนุภาคเฉลี่ย 20-30 นาโนเมตร ที่อุณหภูมิ 800 องศาเซลเซียส ดังรูปที่ 2.12 และเมื่อวิเคราะห์ด้วยกล้องจุลทรรศน์อิเล็กตรอนแบบส่องการดู พบร่วมออนุภาคมีขนาดในระดับนาโนเมตร มีขนาดใกล้เคียงกัน และรวมตัวกันเป็นกลุ่มก้อนดังรูปที่ 2.13



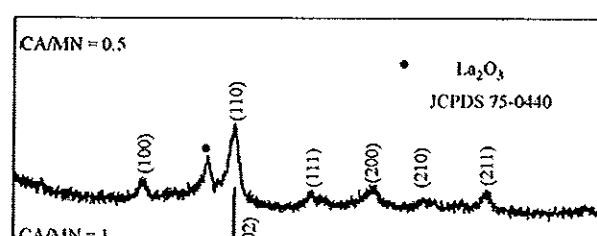
รูปที่ 2.12 รูปแบบการเลี้ยงเบนรังสีเอกซ์ของอนุภาค LaMnO<sub>3</sub> ที่อุณหภูมิ 800 องศาเซลเซียส [18]



รูปที่ 2.13 ภาพถ่ายจากกล้องจุลทรรศน์อิเล็กตรอนแบบส่องกราดของอนุภาค LaMnO<sub>3</sub> ที่อุณหภูมิ 800 องศาเซลเซียส [18]

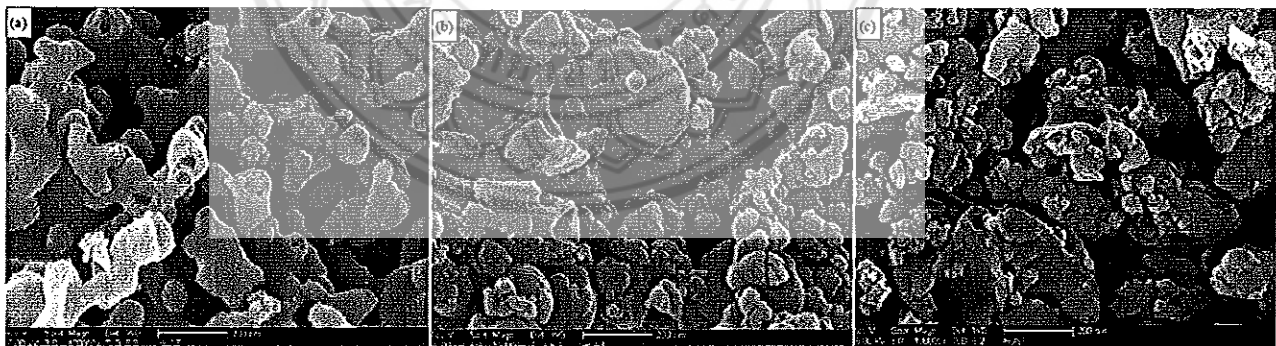
ในปี 2008 Yuanyuan Li และคณะ [2] ได้สังเคราะห์ผงผลึก LaMnO<sub>3</sub> ด้วยกระบวนการปฏิกิริยาการเผาไหม้แบบโซล-เจล เพื่อศึกษาผลของอัตราส่วนของกรดซิติริก (CA) ต่อโลหะของไม透 (MN) ในสารละลายเพื่อสังเคราะห์เป็นผงผลึก พบร่วมกันของการเผาไหม้ลดลงและขนาดของผงลึกเพิ่มขึ้นเมื่ออัตราส่วนของ CA/MN เพิ่มขึ้น

จากการวิเคราะห์ด้วยเทคนิคการเลี้ยงเบนของรังสีเอกซ์ ดังรูปที่ 2.14 พบร่วมกับอัตราส่วนของ CA/MN เท่ากับ 5 จะมีเฟสเปลกปลอกของ La<sub>2</sub>O<sub>3</sub> เกิดขึ้น เมื่ออัตราส่วนของ CA/MN เพิ่มขึ้น เฟสเปลกปลอกของ La<sub>2</sub>O<sub>3</sub> มีค่าลดลง และที่อัตราส่วนของ CA/MN เท่ากับ 1.5 ผงผลึกมีความบริสุทธิ์ แต่มีอัตราส่วนของ CA/MN เท่ากับ 3 ผงที่ได้เป็นอัมอร์ฟัส (amorphous) โดยที่อัตราส่วนของ CA/MN เท่ากับ 0.5 จะมีโครงสร้างเป็นคิวบิก และเปลี่ยนเป็นออร์โทรอมบิก (orthorhombic) เมื่ออัตราส่วนของ CA/MN เพิ่มขึ้นเป็น 1 และ 1.5 อนุภาคมีขนาด 29.8 30.6 และ 97.8 นาโนเมตร เมื่ออัตราส่วนของ CA/MN เท่ากับ 0.5 1 และ 1.5 ตามลำดับ



รูปที่ 2.14 รูปแบบการเลี้ยวเบนรังสีเอกซ์ของผง LaMnO<sub>3</sub> ด้วยอัตราส่วนของ CA/MN ที่แตกต่างกัน [2]

เมื่อวิเคราะห์ด้วยกล้องจุลทรรศน์อิเล็กตรอนแบบส่องกราด โครงสร้างจุลภาคของผงที่สังเคราะห์ได้ที่อัตราส่วนที่แตกต่างกันแสดงดังรูปที่ 2.15 พบร่วมกันเป็นกลุ่มของอนุภาคที่ละเอียด มีการจัดเรียงตัวกันอย่างไม่เป็นระเบียบ

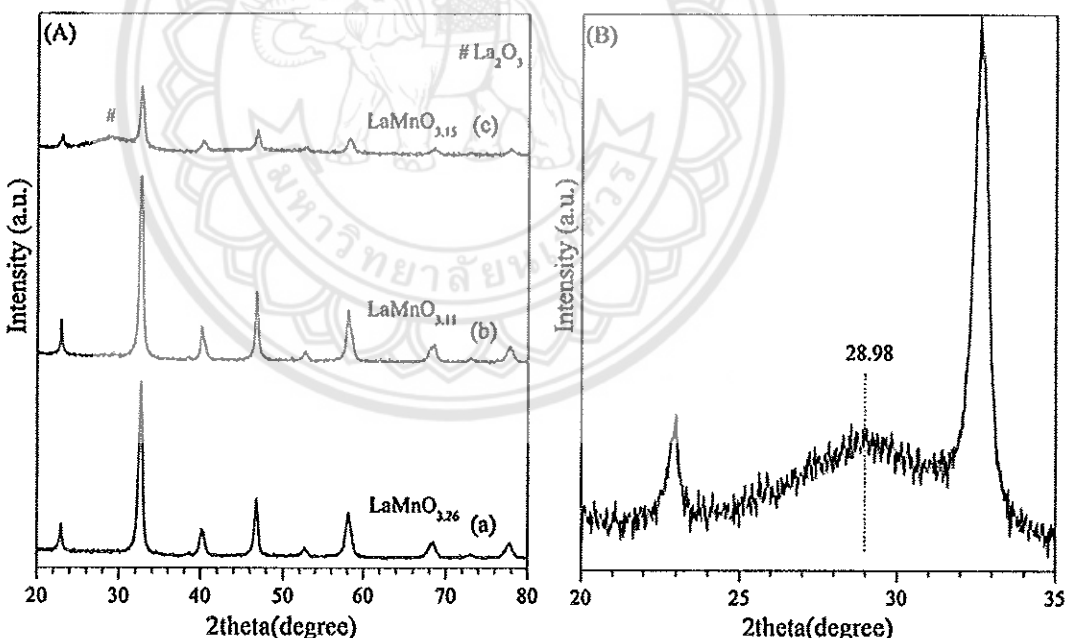


รูปที่ 2.15 ภาพถ่ายจากกล้องจุลทรรศน์อิเล็กตรอนแบบส่องกราดของการสังเคราะห์ผง LaMnO<sub>3</sub> ด้วย อัตราส่วนระหว่าง CA/MN เท่ากับ (a) 0.5 (b) 1 และ (c) 1.5 [2]

ในปี 2013 Chuanhui Zhang และคณะ [19] ได้สังเคราะห์ผงผลึก LaMnO<sub>3</sub> (LMO) ด้วยกระบวนการซิเตอฟโซล-เจล (SG) ปฏิกริยาการเผาไหม้โดยใช้สารเชื้อเพลิงไกลชีน (GC) และวิธีการตกตะกอนร่วม (CP) พบร่วมกัน LMO-SG และ LMO-GC มีโครงสร้างเป็นเพอร์เฟสไกร์ต แต่พบเฟส

แบลกปอลอมของ  $\text{La}_2\text{O}_3$  ใน LMO-CP พบร่วมกับที่ถูกเตรียมโดยวิธี LMO-SG มีความสามารถดีที่สุดในการเป็นตัวเร่งปฏิกิริยาของโคลอีน (toluene)

รูปแบบการเลี้ยวเบนรังสีเอกซ์ของ LMO-SG, LMO-GC และ LMO-CP แสดงดังรูปที่ 2.16 เพื่อของตัวอย่าง LMO-SG สอดคล้องกับ  $\text{LaMnO}_{3.26}$  ตามฐานข้อมูล JCPDS หมายเลข 50-0299 มีโครงสร้างเป็นเพอร์ฟไกต์แบบบรมโนไบด์ (rhombohedral) ตัวอย่าง LMO-GC สอดคล้องกับ  $\text{LaMnO}_{3.11}$  ตามฐานข้อมูล JCPDS หมายเลข 50-0297 มีโครงสร้างเป็นเพอร์ฟไกต์แบบออร์โทอมบิก (orthorombic) ในขณะที่รูปแบบการเลี้ยวเบนรังสีเอกซ์ของ LMO-CP สอดคล้องกับ  $\text{LaMnO}_{3.15}$  ตามฐานข้อมูล JCPDS หมายเลข 50-0298 มีโครงสร้างเป็นเพอร์ฟไกต์แบบบรมโนไบด์ (rhombohedral) โดยไม่พบเพลกปอลอมของ  $\text{La}_2\text{O}_3$  และ  $\text{MnO}_x$  ใน LMO-SG และ LMO-GC แต่พบเพลกปอลอมของ  $\text{La}_2\text{O}_3$  (110) ตามฐานข้อมูล JCPDS หมายเลข 24-0554 ใน LMO-CP ณ ตำแหน่ง  $2\theta = 28.98^\circ$  ดังแสดงในรูปที่ 2.16 โดยขนาดของผงผลึกคำนวณได้จากสมการของเชอร์เรอร์ (scherrer equation) และค่าพารามิเตอร์ตามตารางที่ 2.1 พบร่วมกับมีขนาด  $14.1(\pm 0.7)$  นาโนเมตร



รูปที่ 2.16 (A) รูปแบบการเลี้ยวเบนรังสีของตัวอย่าง (a) LMO-SG (b) LMO-GC และ (c) LMO-CP  
(B) รูปแบบอนุพันธ์รังสีเอกซ์ของตัวอย่าง LMO-CP ณ ตำแหน่ง  $2\theta$  ในช่วง  $20-35^\circ$  [19]

ตารางที่ 2.1 แสดงค่าพารามิเตอร์และคุณสมบัติต่างๆ ของตัวอย่าง [19]

| Simple | Symmetry | $d_{XRD}(\text{nm})$ | Unit cell parameter |                   |                   | Vol. ( $\text{\AA}^3$ ) |
|--------|----------|----------------------|---------------------|-------------------|-------------------|-------------------------|
|        |          |                      | a( $\text{\AA}$ )   | b( $\text{\AA}$ ) | c( $\text{\AA}$ ) |                         |
|        |          |                      |                     |                   |                   |                         |

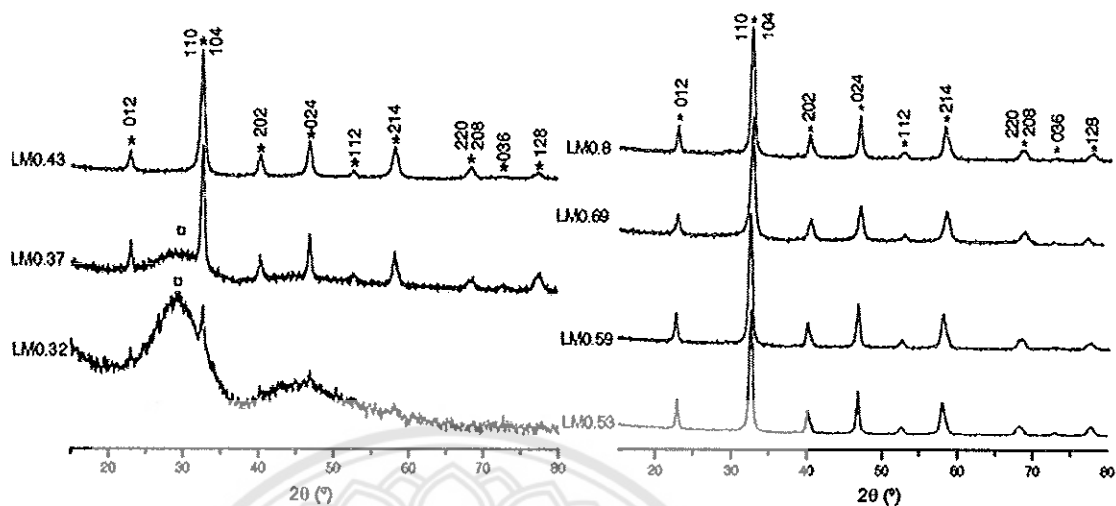
|        |              |      |        |        |         |       |
|--------|--------------|------|--------|--------|---------|-------|
| LMO-SG | Rhombohedral | 13.5 | 5.4793 | 5.4793 | 13.3946 | 348.3 |
| LMO-GC | Orthorhombic | 14.7 | 5.5108 | 5.4726 | 7.7526  | 233.8 |
| LMO-CP | Rhombohedral | 13.9 | 5.4968 | 5.4958 | 13.3601 | 349.6 |

ในปี 2010 Hend Najjar และคณะ [3] ได้ศึกษาคุณสมบัติของสารเร่งปฏิกิริยาในตระกูลของ  $\text{LaMnO}_3$  (LMO) ด้วยกระบวนการปฏิกิริยาการเผาไหม้โดยใช้ไกลซีนเป็นสารเชื้อเพลิงและตัวเร่งปฏิกิริยา พบร้าอัตราส่วนไกลซีนต่อในเตอร์มีนัยสำคัญต่อการเกิดพื้นที่ผิว (surface area) ที่ อัตราส่วนไกลซีนต่อในเตอร์ทเท่ากับ 0.8 มีความสามารถในการเป็นตัวเร่งปฏิกิริยาดีที่สุด โดย อัตราส่วนระหว่างไกลซีนต่อในเตอร์ที่เป็นเงื่อนไขในการสังเคราะห์เป็นไปตามตารางที่ 2.2

| $\varphi^a$                           | Fuel-deficient |          |          | Stoichiometric ratio |          | Fuel-rich |          |  |
|---------------------------------------|----------------|----------|----------|----------------------|----------|-----------|----------|--|
|                                       | 0.6            | 0.7      | 0.8      | 1                    | 1.1      | 1.3       | 1.5      |  |
| $n/5=r^b$                             | 0.32           | 0.37     | 0.43     | 0.53                 | 0.59     | 0.69      | 0.80     |  |
|                                       | (-39.6%)       | (-30.1%) | (-18.9%) |                      | (+11.3%) | (+30.2%)  | (+50.9%) |  |
| $\xi^c$                               | 18.9           | 19.6     | 20.6     | 21.9                 | 23.1     | 25.9      | 28.5     |  |
| $-\Delta rH_{\text{comb}}/\text{g}^d$ | 33             | 43       | 53       | 71                   | 76       | 86        | 94       |  |

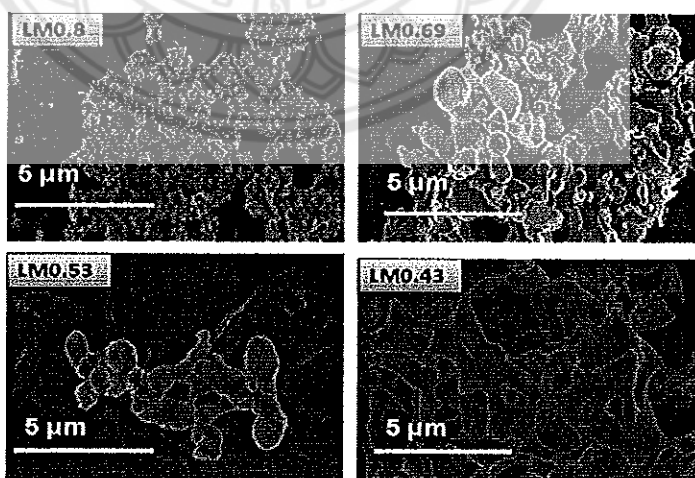
ตารางที่ 2.2 แสดงอัตราส่วนระหว่างไกลซีนต่อในเตอร์ที่เป็นเงื่อนไขในการสังเคราะห์ [3]

รูปแบบการเลี้ยวเบนของรังสีเอกซ์แสตดงดังรูปที่ 2.17 พบร้าไม่ได้เกิดผลึกในทุกเงื่อนไข อัตราส่วนไกลซีนต่อในเตอร์ ที่อัตราส่วนไกลซีนต่อในเตอร์เท่ากับ 0.32 และ 0.37 เกิดเฟสของผลึก และอัมorphous (amorphous) ปะปนกัน โดยมี  $\text{La}_2\text{O}_2\text{CO}_3$  และ  $\text{La}_2\text{O}(\text{CO}_3)_2$  หลงเหลืออยู่ ในขณะที่ อัตราส่วนไกลซีนต่อในเตอร์มากกว่า 0.37 ผงผลึกเกิดเฟสของ  $\text{LaMnO}_3$  โดยไม่มีเฟสของสารอื่นเจือปน



รูปที่ 2.17 รูปแบบการเลี้ยวเบนรังสีเอกซ์ของ LMO : (\*)  $\text{LaMnO}_3$  (JCPDS 50-0298) และ (□)  $\text{La}_2\text{O}_2\text{CO}_3$  (JCPDS 84-1963) [3]

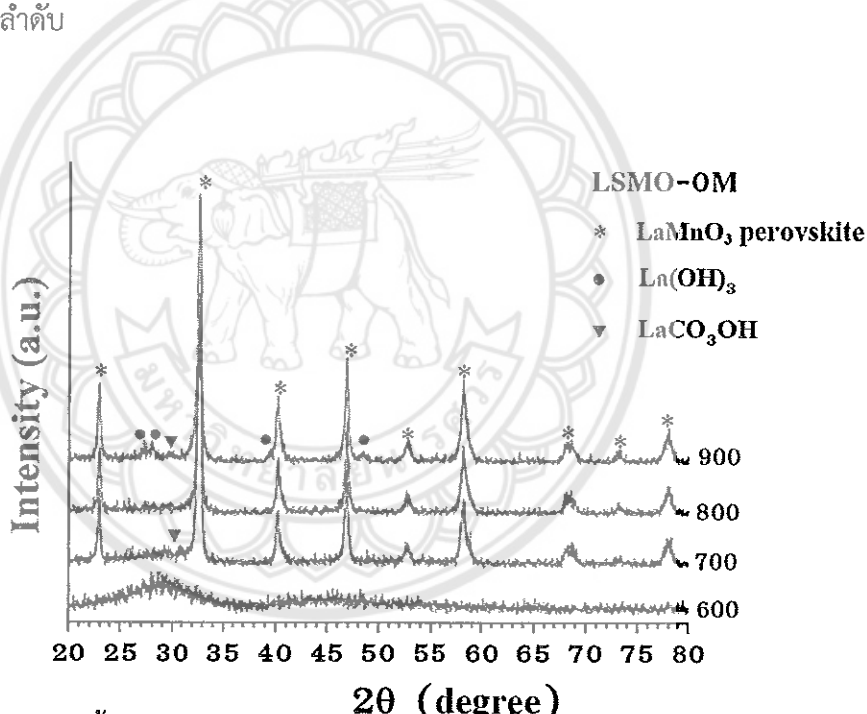
เมื่อวิเคราะห์ด้วยกล้องจุลทรรศน์อิเล็กตรอนแบบส่องกราดดังรูปที่ 2.18 ของโครงสร้างจุลภาคของ LM0.8 และ LM0.69 พบร่องนุภาพมีการรวมตัวกันเป็นกลุ่มก้อนขนาดกว้างค่อนข้างกลม ในขณะที่ LM0.43 และ LM0.53 อนุภาคมีรูปร่างไม่เป็นระเบียบคล้ายโครงสร้างของพืชและสัตว์ (morphology)



รูปที่ 2.18 ภาพโครงสร้างจุลภาคจากกล้องจุลทรรศน์อิเล็กตรอนแบบส่องกราดของตัวอย่าง LMO [3]

จากการวิจัยของสุจิตตรา แดงสกุล [1] ได้สังเคราะห์อนุภาค  $\text{LaMnO}_3$  โดยวิธีโซล-เจลแบบดัดแปลงอย่างง่ายโดยใช้สารละลายไฮโดroxีแคน เมื่อวิเคราะห์ด้วยเทคนิคการเลี้ยวเบนของรังสี

ເອກະທິ່ນໄດ້ມາດີວ່າກັບອຸນຫກົມຕ່າງກັນໃນຂ່າງ 600-900 ອົງສາເຊລເຊີຍສ ເປັນເວລາ 3 ຊົ່ວໂມງ ແສດງ ດັ່ງຮູບທີ 2.19 ພບວ່າທີ່ອຸນຫກົມແຄລໄຟນ໌ 600 ອົງສາເຊລເຊີຍສ ອນຸກາຄມີລັກຊະນະເປັນອສັນຫຼານ (amorphous) ເນື່ອຈາກໄຟປ່າຍແສກເລີ່ມວະນາຂອງຮັງສີເອກະທິ່ນ ແລະ ເນື່ອແຄລໄຟນ໌ທີ່ອຸນຫກົມສູງກວ່າ 700 ອົງສາເຊລເຊີຍສ ພບວ່າເກີດເຟສກເລີ່ມວະນາທີ່ມີຮູບແບບແສດງດຶງກໍາເກີດເປັນພັກຂອງສາປະກອບ ອອກໄສດໍຂອງ  $\text{LaMnO}_3$  ທີ່ຄາດວ່າປະກອບໄປດ້ວຍໂຄຮ່າຮ້າງເຟສຂອງ  $\text{LaMnO}_3$  ສອງຮູບແບບ ຄືວ່າ ແບບ ອອຣີໂຮມບົກຂອງ  $\text{LaMnO}_3$  (JCPDS 35-1353) ແລະ ແບບຮອມໄປຢີດຮອດຂອງ  $\text{LaMnO}_{3.15}$  (JCPDS 50-0298) ແລະ ພບເຟສເຈືອປັນຂອງ  $\text{LaCO}_3\text{OH}$  (JCPDS 49-0981) ແລະ ເຟສຂອງ  $\text{La(OH)}_3$  (JCPDS 36-1481) ແລະ ເນື່ອອຸນຫກົມແຄລໄຟນ໌ເພີ່ມສູງຂຶ້ນຈະທຳໄຫ້ອຸນກາຄ  $\text{LaMnO}_3$  ມີຄວາມເປັນພັກເພີ່ມມາກຂຶ້ນທານ ຜົ່ງສັງເກົດໄດ້ຈາກຄວາມເຂັ້ມຂົງຍອດກາຟກເລີ່ມວະນາທີ່ເພີ່ມສູງຂຶ້ນເນື່ອອຸນຫກົມແຄລໄຟນ໌ເພີ່ມຂຶ້ນ ຂາດ ອຸນກາຄທີ່ແຄລໄຟນ໌ທີ່ອຸນຫກົມ 700, 800 ແລະ 900 ອົງສາເຊລເຊີຍສ ເທົ່າກັບ 24.86, 25.86 ແລະ 26.28 ນານຸໂມຕຽມ ຕາມລຳດັບ



ຮູບທີ 2.19 ຮູບແບບກາຟກເລີ່ມວະນາຂອງຮັງສີເອກະທິ່ນຈາກເຖິງກາຟກເລີ່ມວະນາຂອງອຸນກາຄນາໂນ

$\text{LaMnO}_3$  ແຄລໄຟນ໌ທີ່ອຸນຫກົມ (ກ) 600 ອົງສາເຊລເຊີຍສ, (ຂ) 700 ອົງສາເຊລເຊີຍສ, (ຄ) 800 ອົງສາເຊລເຊີຍສ ແລະ (ຈ) 900 ອົງສາເຊລເຊີຍສ ເປັນເວລາ 3 ຊົ່ວໂມງ [1]

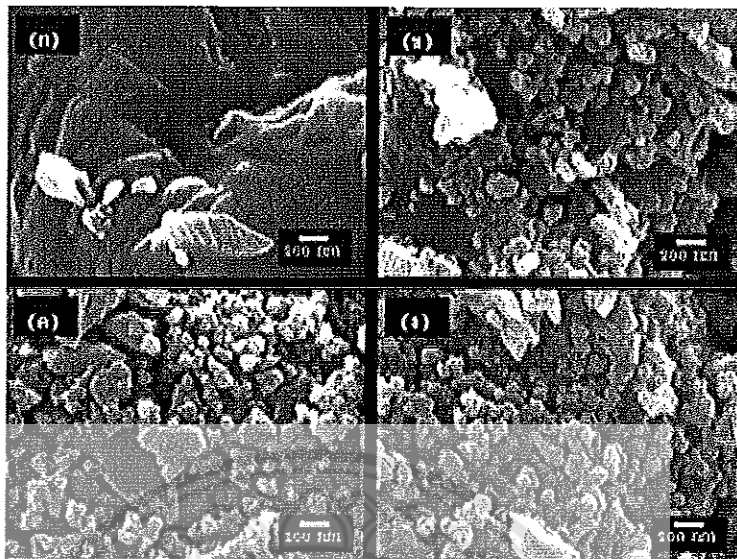
ຈາກກາວົວເຄາະທີ່ດ້ວຍກຳລັງຈຸລທຣສນ໌ອີເລີກຕຣອນແບບສ່ອງກາດແສດງດັ່ງຮູບທີ 2.20 ຈາກ ຮູບຈະເຫັນວ່າອຸນກາຄ  $\text{LaMnO}_3$  ທີ່ໄດ້ມີລັກຊະນະຄລ້າຍກັນໃນທຸກສາຮຕ້າວຍ່າງນັ້ນຄື່ນມີລັກຊະນະເປັນເມື່ດ ຄ່ອນຂັ້ງກລມແລະ ມີກາເກະຕົວກັນເປັນກຸ່ມກັ້ນຂອງອຸນກາຄນາດເລີກຈຳນວນນັ້ນ ເນື່ອແຄລໄຟນ໌ທີ່ ອຸນຫກົມ 600 ອົງສາເຊລເຊີຍສ ພບວ່າອຸນກາຄທີ່ໄດ້ມີລັກຊະນະຂອງກາເກະຕົວກັນເປັນພັກເນື່ອຈາກໄຟປ່າຍແສກເລີ່ມວະນາຂອງອຸນຫກົມ 700-900 ອົງສາເຊລເຊີຍສ ເພີ່ມພັກຂອງອຸນກາຄ  $\text{LaMnO}_3$  ທີ່ໄດ້ຈາກກາຟກແຄລໄຟນ໌ທີ່ອຸນຫກົມ 700-900 ອົງສາເຊລເຊີຍສ

QD  
181  
.14b  
๘๗๖๙๖  
2559

1040829



3 0 100 2559



รูปที่ 2.20 ภาพถ่ายจากกล้องจุลทรรศน์อิเล็กตรอนแบบส่องกราดของอนุภาค LaMnO<sub>3</sub> แคลไซน์ที่อุณหภูมิ (ก) 600 องศาเซลเซียส, (ข) 700 องศาเซลเซียส, (ค) 800 องศาเซลเซียส และ (ง) 900 องศาเซลเซียส เป็นเวลา 3 ชั่วโมง [1]

## บทที่ 3

### วิธีดำเนินงานวิจัย

#### สารเคมีที่ใช้ในการทดลอง

1. แอลานาโน๊มในเตรท เอกซ์ไไฮเดรท ( $\text{La}(\text{NO}_3)_3 \cdot 6\text{H}_2\text{O}$  ความบริสุทธิ์ 99.00% บริษัท EMSURE
2. แมงกานีสในเตรท เตตራไไฮเดรท ( $\text{Mn}(\text{NO}_3)_2 \cdot 4\text{H}_2\text{O}$  ความบริสุทธิ์ 97% บริษัท EMSURE
3. กรดสเตียริก ( $\text{C}_{18}\text{H}_{36}\text{O}_2$ ) ความบริสุทธิ์ 98% บริษัท LOBA CHEMIE PVT.LTD.
4. ไกลชีน ( $\text{NH}_2\text{CH}_2\text{COOH}$ ) ความบริสุทธิ์ 99.0% บริษัท RCI Labscan Limited
5. น้ำปราศจากไอออน (Deionized water)

#### อุปกรณ์ที่ใช้ในการเตรียมสาร

1. เครื่องชั่งดิจิตอลความละเอียด 0.0001 กรัม บริษัท Sartorius รุ่น MC1 Analytic AC210S ประเทศเยอรมัน
2. บีกเกอร์ขนาด 100 250 และ 600 มิลลิลิตร
3. ขวดปริมาตรก้นกลม
4. กระดาษอลูมิเนียม
5. ปีเปตต์แบบใช้ตัวง แล้ว ถูกยางปีเปตต์
6. คิมจับชิ้นงาน
8. ช้อนตักสาร
9. ถ้วยอะลูมินา
10. แท่นให้ความร้อน (hot plate) และแท่งแม่เหล็กคนสาร (magnetic stirrer) ยี่ห้อ Cimarec รุ่น HP194525
11. เตาเผา y-ho Carbolite รุ่น S33 6Rb ประเทศอังกฤษ
12. ครกหยก (Agate)
13. เทอร์โมมิเตอร์
14. กระปองพลาสติกที่ใช้ผสมสาร ทำด้วยพอลิเมอร์พร้อมฝ่าเกลี่ยปิดสนิท
15. เม็ดกดอิตเทียเซอร์โคโนนี
16. แท่นหมุนพร้อมมอเตอร์สำหรับหมุนกระปองเพื่อบดย่อยผสมสารแบบ ball-milling

#### อุปกรณ์ในการวิเคราะห์ตัวอย่าง

1. เครื่องวิเคราะห์การเลี้ยวเบนของรังสีเอกซ์ (x-ray diffractometer)

2. กล้องจุลทรรศน์อิเล็กตรอนแบบส่องกราด (scanning electron microscope) บริษัท JOEL รุ่น LEO 1455VP ประเทศไทย

### วิธีดำเนินการวิจัย

#### ตอนที่ 1 การเตรียมผงพลีก LaMnO<sub>3</sub> ด้วยวิธีการ Sol-gel

1.1 นำเคนทาโน้มในเตรต เอกซ์ไฮเดรท ( $\text{La}(\text{NO}_3)_3 \cdot 6\text{H}_2\text{O}$ ) ปริมาณ 21.869

กรัม

และแมงกานีสในเตรต เตตระไฮเดรท ( $\text{Mn}(\text{NO}_3)_2 \cdot 4\text{H}_2\text{O}$ ) ปริมาณ

12.9385

กรัม แยกคล้ายในน้ำปราศจากไอออนปริมาณ 50 มิลลิลิตร

1.2 นำสารผสมข้างต้นมา Stirred เพื่อคนให้สารเข้ากันโดยการหมุนของแท่นแม่เหล็ก

1.3 เติมกรดสเตียริก ( $\text{CH}_3(\text{CH}_2)_{16}\text{COOH}$ ) ปริมาณ 58.057 กรัม ในสารละลาย

ซื้อ

1.2 แล้วนำไปให้ความร้อนที่อุณหภูมิ 120 องศาเซลเซียส เป็นเวลา 3

ชั่วโมง

จะได้สารตั้งต้นออกมานิรูปของโซล-เจล

1.4 นำไปอบที่อุณหภูมิ 400 องศาเซลเซียส เป็นเวลา 24 ชั่วโมง

1.5 เผาแคลไชน์ที่อุณหภูมิ 600-900 องศาเซลเซียส เป็นเวลา 2 ชั่วโมง

1.6 นำลงที่ได้มาตรวจสอบโครงสร้างผลลัพธ์ โครงสร้างทางจุลภาค ด้วยเครื่อง

วิเคราะห์การเดี้ยวแบบของรังสีเอกซ์ (XRD) และกล้องจุลทรรศน์

อิเล็กตรอน

แบบส่องกราด (SEM)

#### ตอนที่ 2 การเตรียมผงพลีก LaMnO<sub>3</sub> ด้วยวิธีการ Sol-gel โดยใช้สารเชือเพลิงไกลซีน

2.1 นำเคนทาโน้มในเตรต เอกซ์ไฮเดรท ( $\text{La}(\text{NO}_3)_3 \cdot 6\text{H}_2\text{O}$ ) ปริมาณ 21.869

กรัม

และแมงกานีสในเตรต เตตระไฮเดรท ( $\text{Mn}(\text{NO}_3)_2 \cdot 4\text{H}_2\text{O}$ ) ปริมาณ

12.9385 กรัม แยกคล้ายในน้ำปราศจากไอออนปริมาณ 50 มิลลิลิตร

2.2 นำสารผสมข้างต้นมา Stirred เพื่อคนให้สารเข้ากันโดยการหมุนของแท่น

### แม่เหล็ก

2.3 เติมกรดสเตียริก ( $\text{CH}_3(\text{CH}_2)_{16}\text{COOH}$ ) ปริมาณ 58.057 กรัม ในสารละลายน้ำ

ข้อ 1.2 แล้วนำไปให้ความร้อนที่อุณหภูมิ 120 องศาเซลเซียส เป็นเวลา 3 ชั่วโมง

2.4 นำไปอบที่อุณหภูมิ 400 องศาเซลเซียส เป็นเวลา 24 ชั่วโมง

2.5 นำผงที่อบมาเติมสารเชือเพลิงไกลซีนที่อัตราส่วน 1: 0.1 และ 0.3 ใส่ในกระป๋องพลาสติกที่มีเม็ดบดอย่างเชอร์โคเนียบรรจุอยู่โดยใช้อุปกรณ์

เป็น

ตัวกลางแล้วนำไปวางบนแท่นหมุนพร้อมมอเตอร์สำหรับหมุนกระป๋องเพื่อบด

อย่างสมาร์ตแบบ Ball-milling ทำการบดอย่างสมาร์ตเป็นเวลา 24 ชั่วโมง

2.6 จากนั้นทำการแยกเม็ดบดออกจากของเหลว และนำมาทำให้แห้งโดยนำไปอบ

ที่อุณหภูมิประมาณ 100 องศาเซลเซียส จากนั้นจึงนำมาบดละเอียดด้วยครก

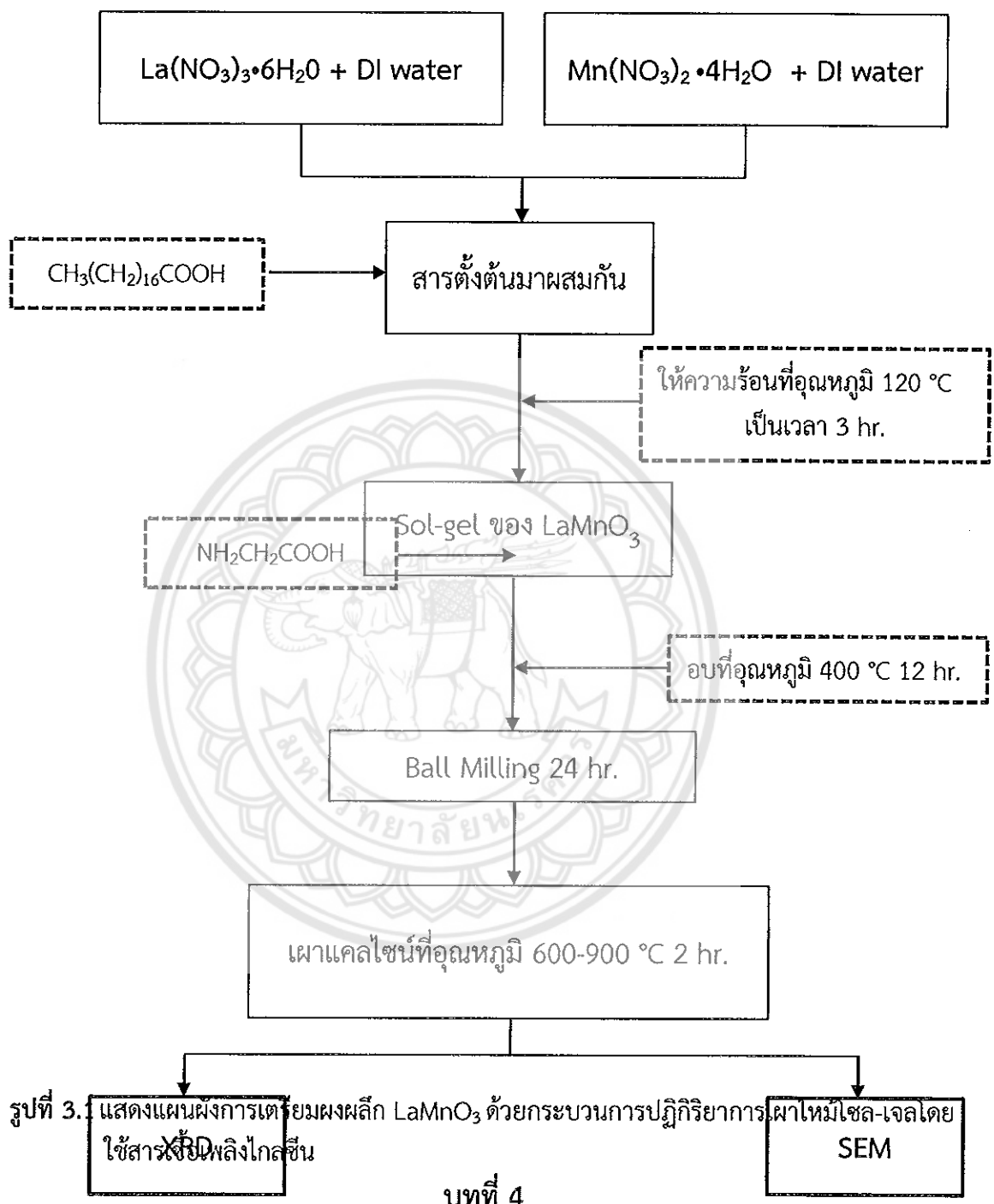
### บดสาร

2.7 นำไปเผาแคลไซน์ ที่อุณหภูมิ 600 ถึง 900 องศาเซลเซียส เป็นเวลา 2 ชั่วโมง

2.8 นำผงที่ได้มารวบรวมโครงสร้างผลึก โครงสร้างทางจุลภาค ด้วยเครื่องวิเคราะห์การเลี้ยวเบนของรังสีเอกซ์ (XRD) และกล้องจุลทรรศน์อิเล็กตรอน

แบบส่องกล้อง (SEM)

กระบวนการขั้นตอนการสังเคราะห์ผงผลึก  $\text{LaMnO}_3$  ด้วยวิธีการ Sol-gel โดยใช้สารเชือเพลิงไกลซีน แสดงดังรูปที่ 3.1



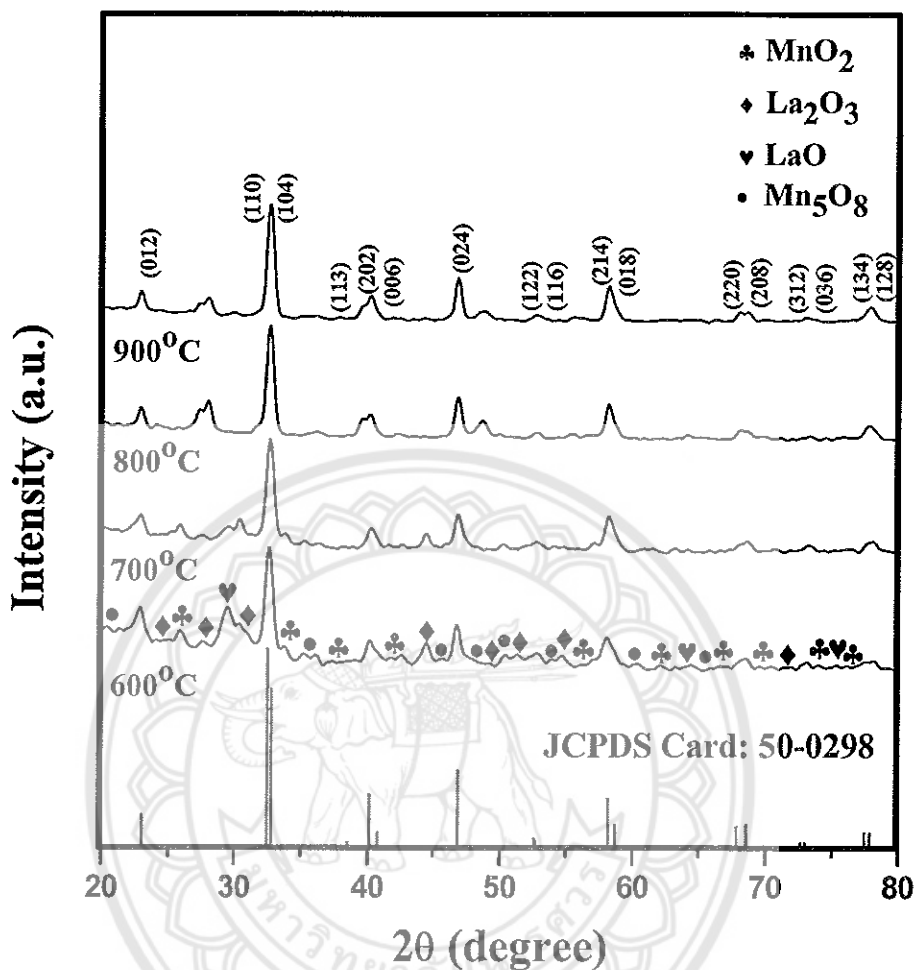
4.1 ผลการวิเคราะห์ผงผลึก LaMnO<sub>3</sub> ที่เตรียมกระบวนการปฏิกิริยาการเผาไหม้โซล-เจล ด้วยเครื่อง

วิเคราะห์การเลี้ยวเบนของรังสีเอกซ์ (X-Ray Diffractometer : XRD) และผลการวิเคราะห์ด้วย

กล้องจุลทรรศน์อิเล็กตรอนแบบส่องกราด (Scanning Electron Microscope: SEM)

จากการวิเคราะห์โครงสร้างผลึกและโครงสร้างจุลภาคของผงผลึก LaMnO<sub>3</sub> ด้วยเทคนิคการเลี้ยวเบนของรังสีเอกซ์ และกล้องจุลทรรศน์อิเล็กตรอนแบบส่องกราด หลังจากแคลไชน์ที่อุณหภูมิ 600 700 800 และ 900 องศาเซลเซียส เป็นเวลา 2 ชั่วโมง

เมื่อวิเคราะห์ด้วยเทคนิคการเลี้ยวเบนของรังสีเอกซ์ (XRD) ซึ่งเผาแคลไชน์ที่อุณหภูมิ 600-900 องศาเซลเซียส เป็นเวลา 2 ชั่วโมง เริ่มมีโครงสร้างเป็นเพอร์อฟสไกร์ต แต่โครงสร้างเฟสที่พบยังไม่บริสุทธิ์ เนื่องจากมีพื้นที่ของสารแบลกปลอม MnO<sub>2</sub> La<sub>2</sub>O<sub>3</sub> Mn<sub>5</sub>O<sub>8</sub> และ LaO เกิดขึ้นในทุกอุณหภูมิ แคลไชน์ ซึ่งจะสอดคล้องกับฐานข้อมูล JCPDS หมายเลข 50-0298 โดยแสดงดังรูปที่ 4.1 โดยสาเหตุอาจเกิดมาจากการอุณหภูมิในการเผาแคลไชน์ต่ำเกินไป และระยะเวลาในการทำปฏิกิริยาน้อยเกินไปจึงทำให้ไม่เพียงพอต่อการทำปฏิกิริยาของสารตั้งต้น แต่เมื่อแคลไชน์ที่อุณหภูมิสูงขึ้นพื้นที่ของสารแบลกปลอมเริ่มลดลง



รูปที่ 4.1 ผลการวิเคราะห์โครงสร้างผลลัพธ์โดยเทคนิคการเลี้ยวเบนของรังสีเอกซ์ (XRD) ของผงผลลัพธ์ LaMnO<sub>3</sub> แคลไชน์ที่อุณหภูมิ 600-900 องศาเซลเซียส เป็นเวลา 2 ชั่วโมง

เมื่อได้ข้อมูลจากการวิเคราะห์ด้วยเทคนิคการเลี้ยวเบนของรังสีเอกซ์ (XRD) แล้ว นำข้อมูลที่ได้มาคำนวณหาค่าร้อยละความบริสุทธิ์ของโครงสร้างเพอร์ฟลาก์เก็ตด้วยสมการ

$$\% \text{ ความบริสุทธิ์ } = \left( \frac{\text{ } \square_{\text{ บุบbling }}}{\text{ } \square_{\text{ บุบbling }} + \text{ } \square_{\text{ ผลิตภัณฑ์ }}} \right) \times 100\%$$

$\square_{\text{ บุบbling }}$  คือ ความเข้มสัมพัทธ์รวมพื้นที่การการเลี้ยวเบนของรังสีเอกซ์โครงสร้างเพอร์ฟลาก์เก็ต

$\square_{\text{ ผลิตภัณฑ์ }}$  คือ ความเข้มสัมพัทธ์รวมของพื้นที่การเลี้ยวเบนของรังสีเอกซ์ของโครงสร้างสารตั้งต้นที่เหลืออยู่

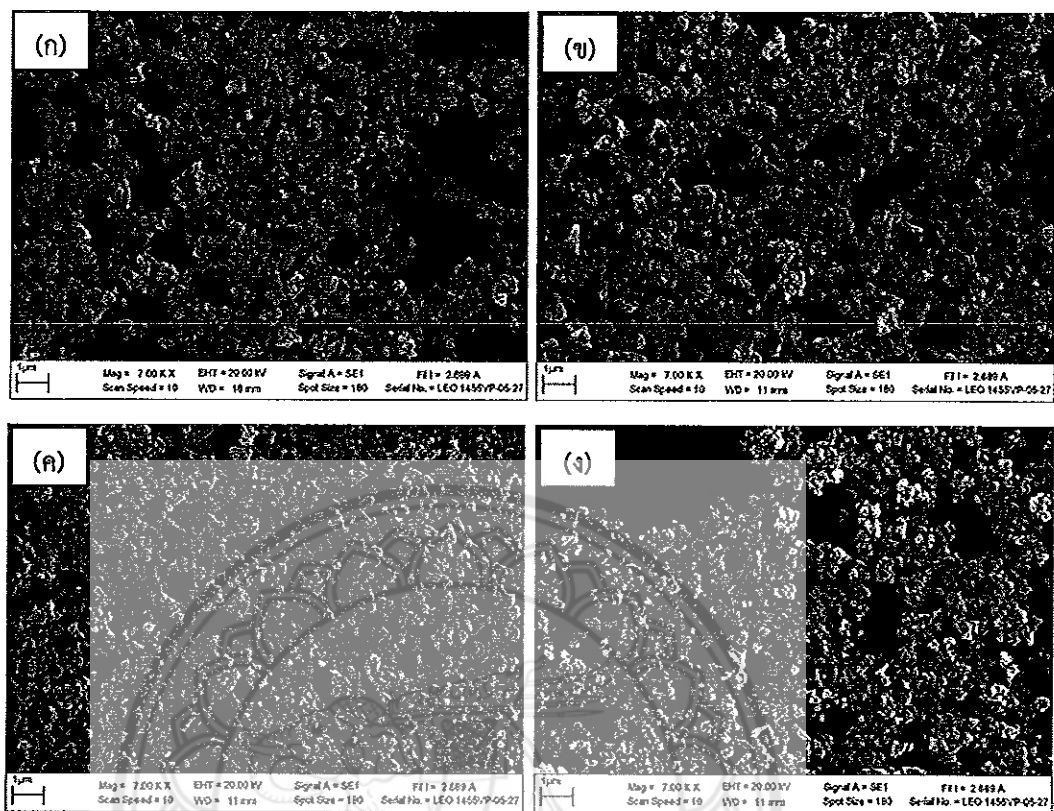
โดยค่าร้อยละความบริสุทธิ์ของโครงสร้างเพอร์ฟลาก์เก็ตของผงผลลัพธ์ LaMnO<sub>3</sub> เมื่อแคลไชน์ที่อุณหภูมิ 600-900 องศาเซลเซียส เป็นเวลา 2 ชั่วโมง แสดงผลดังตารางที่ 4.1 จากตารางพบว่า เมื่อทำการแคลไชน์ที่อุณหภูมิแคลไชน์สูงขึ้นร้อยละความบริสุทธิ์ของสารตัวอย่าง LaMnO<sub>3</sub> มีค่าสูงขึ้น

ตามไปด้วย โดยเมื่อเผาเคลือบในอุณหภูมิ 600 700 800 และ 900 องศาเซลเซียส มีค่าร้อยละความบริสุทธิ์ของโครงสร้างเพอร์อฟไกท์เป็น 73.18 76.88 67.84 และ 85.87 ตามลำดับ จึงเห็นได้ว่า อุณหภูมิการเผาเคลือบมีผลต่อการเกิดโครงสร้างเพอร์อฟไกท์ของ  $\text{LaMnO}_3$  อย่างมีนัยสำคัญ แต่ สังเกตได้ว่าเมื่อเผาเคลือบในอุณหภูมิ 800 องศาเซลเซียส มีค่าร้อยละความบริสุทธิ์ของโครงสร้างเพอร์อฟไกท์ต่ำกว่า 600 และ 700 องศาเซลเซียส ซึ่งคาดว่าอาจเกิดจากการที่ปริมาณของสารตั้งต้นที่ใช้มีสัดส่วนไม่เป็นไปตามปริมาณสารสัมพันธ์ของการสังเคราะห์ผงลึก  $\text{LaMnO}_3$

**ตารางที่ 4.1 ค่าร้อยละความบริสุทธิ์ของโครงสร้างเพอร์อฟไกท์ของผงลึก  $\text{LaMnO}_3$  ที่อุณหภูมิ  
เคลือบ 600-900 องศาเซลเซียส เป็นเวลา 2 ชั่วโมง**

| อุณหภูมิการเผาเคลือบ (°C) | ร้อยละความบริสุทธิ์ |
|---------------------------|---------------------|
|                           | 0.1:0.1             |
| 600                       | 73.18               |
| 700                       | 76.88               |
| 800                       | 67.84               |
| 900                       | 85.87               |

จากการตรวจสอบโครงสร้างจุลภาคของผงลึก  $\text{LaMnO}_3$  ด้วยกล้องจุลทรรศน์อิเล็กตรอนแบบส่องกราด (SEM) ด้วยกำลังขยาย 7,000 เท่า เมื่อเผาเคลือบในอุณหภูมิ 600-900 องศาเซลเซียส เป็นเวลา 2 ชั่วโมง ดังรูปที่ 4.2 พบร้า อนุภาคที่ได้มีลักษณะคล้ายกันในทุกอุณหภูมิการเผาเคลือบ นั่นคือเป็นเม็ดค่อนข้างกลมมีขนาดเล็ก เกาะกคุ่มกันอย่างหนาแน่น โดยผงลึกที่ได้เป็นเพียงผงลึกของสารตั้งต้นที่ทำปฏิกิริยา กันยังไม่สมบูรณ์



รูปที่ 4.2 ผลการวิเคราะห์โครงสร้างจุลภาคด้วยกล้องจุลทรรศน์อิเล็กตรอนแบบส่องกระดาษของผงผลึก

LaMnO<sub>3</sub> แคลไซน์ที่อุณหภูมิ (ก) 600 (ข) 700 (ค) 800 และ (ง) 900 องศาเซลเซียส เป็นเวลา 2 ชั่วโมง

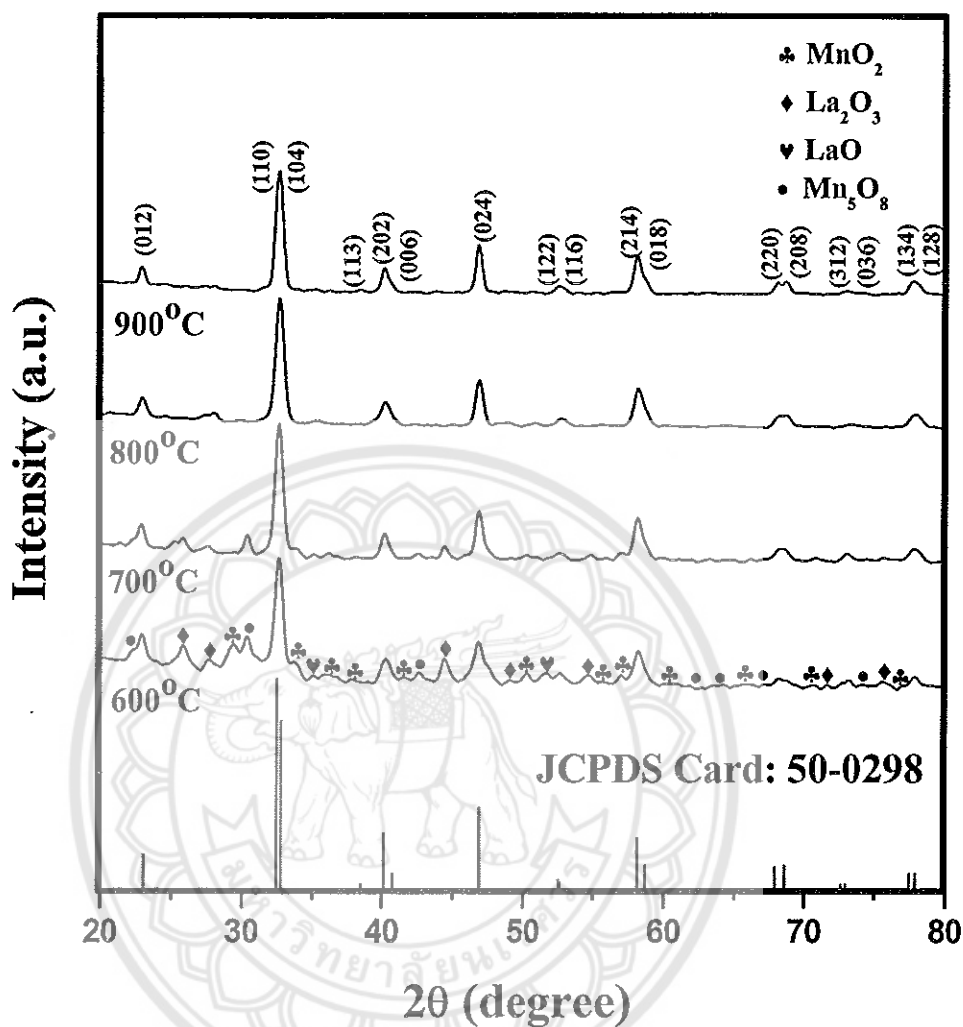
4.2 ผลการวิเคราะห์ผงผลึก LaMnO<sub>3</sub> ที่เตรียมด้วยกระบวนการปฏิกิริยาการเผาไหม้โซล-เจล โดย

ใช้สารเชื้อเพลิงไกลซีนที่อัตราส่วน 1:0.1 ด้วยเครื่องวิเคราะห์การเลี้ยวเบนของรังสีเอกซ์ (XRD)

และผลการวิเคราะห์ด้วยกล้องจุลทรรศน์อิเล็กตรอนแบบส่องกราด (SEM)

จากการวิเคราะห์โครงสร้างผลึกและโครงสร้างจุลภาคของผงผลึก LaMnO<sub>3</sub> ด้วยเทคนิค การเลี้ยวเบนของรังสีเอกซ์ และกล้องจุลทรรศน์อิเล็กตรอนแบบส่องกราด ร่วมกับสารเชื้อเพลิง ไกลซีนที่อัตราส่วน 1:0.1 หลังจากแคลไชน์ที่อุณหภูมิ 600 700 800 และ 900 องศาเซลเซียส เป็นเวลา 2 ชั่วโมง

เมื่อวิเคราะห์ด้วยเทคนิคการเลี้ยวเบนของรังสีเอกซ์ (XRD) ซึ่งผ่านแคลไชน์ที่อุณหภูมิ 600-900 องศาเซลเซียส เป็นเวลา 2 ชั่วโมง ดังแสดงในดังรูปที่ 4.3 พบร้าเริ่มมีโครงสร้างเพอร์อฟส์ไกต์ของ LaMnO<sub>3</sub> เกิดขึ้น ตั้งแต่อุณหภูมิ 600 องศาเซลเซียส แต่โครงสร้างเฟสที่พบยังไม่บริสุทธิ์ เนื่องจากพาราแปรกปลอม MnO<sub>2</sub> La<sub>2</sub>O<sub>3</sub> Mn<sub>5</sub>O<sub>8</sub> และ LaO เกิดขึ้น แต่เมื่ออุณหภูมิสูงขึ้นพีคของ สารแปรกปลอมลดลง และที่อุณหภูมิ 900 องศาเซลเซียส พบร้าผงผลึกที่ได้มีโครงสร้างเป็นเพอร์อฟส์ไกต์แบบรอมบิค็อดรัล (rhombohedral) ซึ่งจะสอดคล้องกับฐานข้อมูล JCPDS หมายเลข 50-0298 และไม่พบสารแปรกปลอม นอกจากนี้ยังพบว่าการเติมสารเชื้อเพลิงไกลซีนมีผลต่อการลดลงของพีคสารแปรกปลอมอย่างชัดเจน เนื่องจากเป็นตัวรุ่งให้เกิดปฏิกิริยาที่ใช้ในการเผาไหม้



รูปที่ 4.3 ผลการวิเคราะห์โครงสร้างผลึกโดยเทคนิคการเลี้ยวเบนของรังสีเอกซ์ (XRD) ของผลึก LaMnO<sub>3</sub> ร่วมกับสารเชื้อเพลิงไกลซีนที่อัตราส่วน 1:0.1 แคลเซนท์อุณหภูมิ 600-900 องศาเซลเซียส เป็นเวลา 2 ชั่วโมง

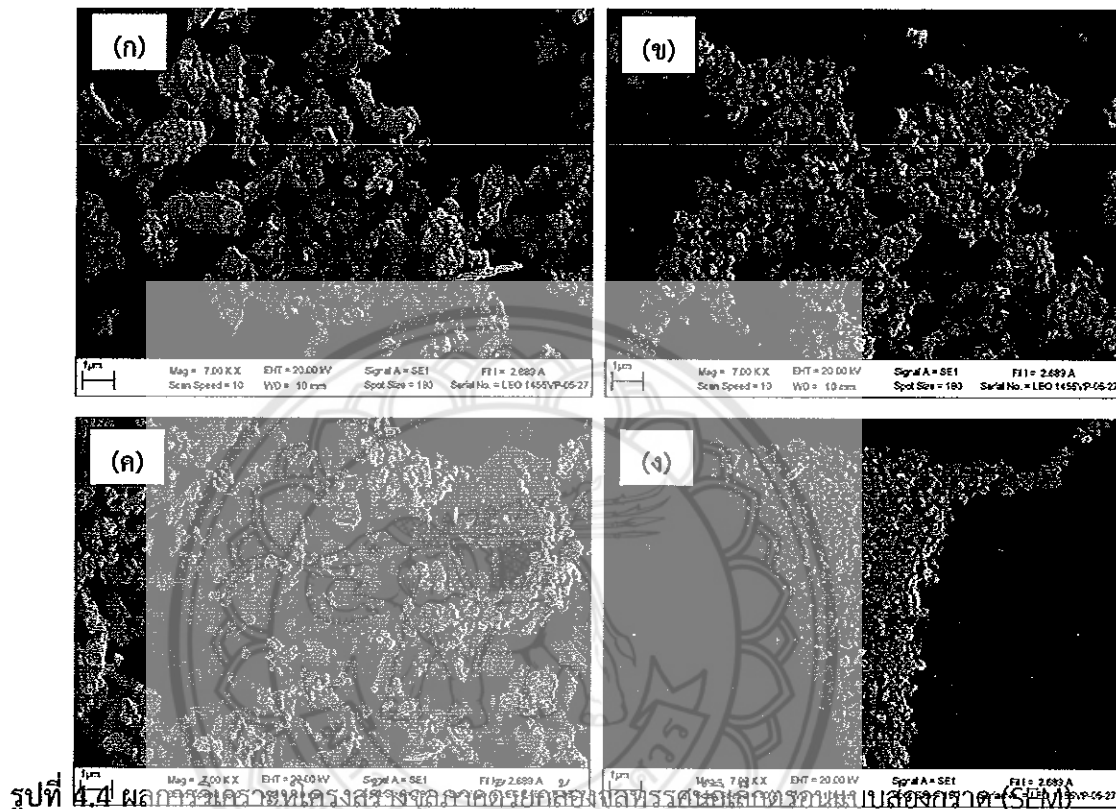
เมื่อได้ข้อมูลจากการวิเคราะห์ด้วยเทคนิคการเดี่ยวเบนของรังสีเอกซ์ (XRD) แล้ว นำข้อมูลที่ได้มาคำนวณหาค่าร้อยละความบริสุทธิ์ของโครงสร้างเพอรอฟสไกต์ของผงผลึก LaMnO<sub>3</sub> เผาแคลไชน์ที่อุณหภูมิ 600-900 องศาเซลเซียส เป็นเวลา 2 ชั่วโมง และแสดงผลดังตารางที่ 4.2 จากตารางพบว่า เมื่อทำการเผาแคลไชน์ที่อุณหภูมิแคลไชน์สูงขึ้นร้อยละความบริสุทธิ์ของสารตัวอย่าง LaMnO<sub>3</sub> มีค่าสูงขึ้น ตามไปด้วย โดยเมื่อเผาแคลไชน์ที่อุณหภูมิ 600 700 800 และ 900 องศาเซลเซียส มีค่าร้อยละความบริสุทธิ์ของโครงสร้างเพอรอฟสไกต์เป็น 69.31 81.82 92.88 และ 100 ตามลำดับ โดยร้อยละความบริสุทธิ์ที่สูงที่สุดคือ 100 จะเห็นได้ว่าที่อุณหภูมิแคลไชน์เดียวกันกับการเติมสารเชื้อเพลิงไกลซินที่อัตราส่วน 1:0.1 ค่าร้อยละความบริสุทธิ์ของผงผลึกมีค่าสูงขึ้น จึงสามารถกล่าวได้ว่าอุณหภูมิแคลไชน์และการเติมสารเชื้อเพลิงไกลซินมีผลต่อการเกิดโครงสร้างเพอรอฟสไกต์ของ LaMnO<sub>3</sub> อย่างมีนัยสำคัญ

**ตารางที่ 4.2 ค่าร้อยละความบริสุทธิ์ของโครงสร้างเพอรอฟสไกต์ของผงผลึก LaMnO<sub>3</sub> ร่วมกับสารเชื้อเพลิงไกลซินที่อัตราส่วน 1:0.1 แคลไชน์ที่อุณหภูมิ 600-900 องศาเซลเซียส เป็นเวลา 2 ชั่วโมง**

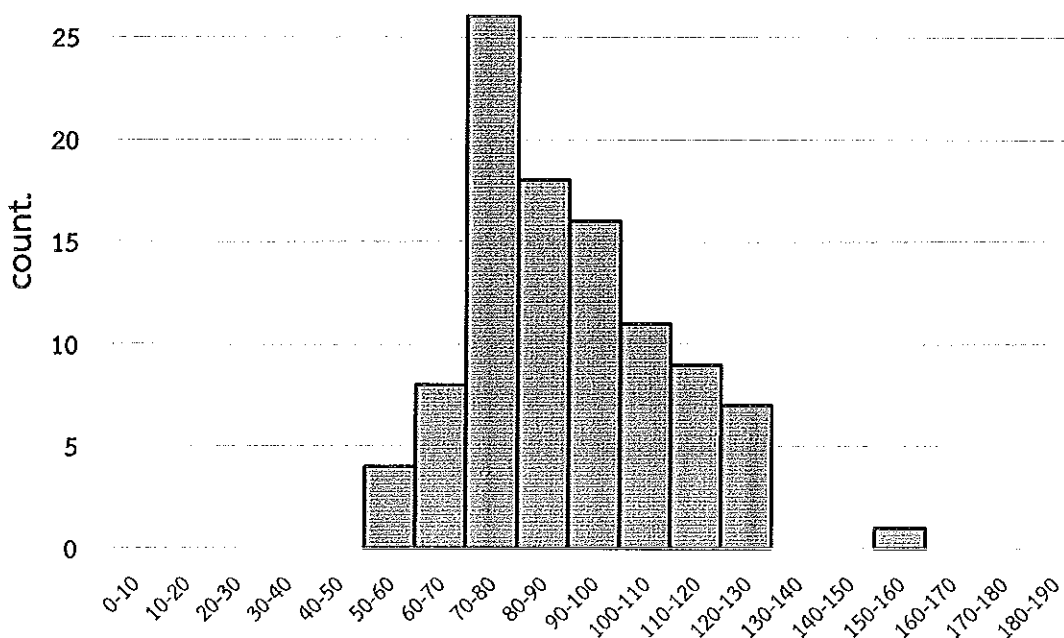
| อุณหภูมิการเผาแคลไชน์<br>(°C) | ร้อยละความบริสุทธิ์ |
|-------------------------------|---------------------|
|                               | 1:0.1               |
| 600                           | 69.31               |
| 700                           | 81.82               |
| 800                           | 92.88               |
| 900                           | 100.00              |

จากการตรวจสอบโครงสร้างจุลภาคของผงผลึก LaMnO<sub>3</sub> ด้วยกล้องจุลทรรศน์อิเล็กตรอนแบบส่องกราด (SEM) ด้วยกำลังขยาย 7,000 เท่า เมื่อเผาแคลไชน์ที่อุณหภูมิ 600-900 องศาเซลเซียส เป็นเวลา 2 ชั่วโมง ดังรูปที่ 4.4 พบว่า อนุภาคที่ได้มีลักษณะคล้ายกันในทุกอุณหภูมิการเผาแคลไชน์ นั่นคือเป็นเม็ดค่อนข้างกลมขนาดเล็ก มีการเกาะกลุ่มกันอย่างหนาแน่น และเมื่อแคลไชน์ที่อุณหภูมิสูงขึ้นขนาดของอนุภาคมีแนวโน้มใหญ่ขึ้น สังเกตได้ว่าที่อุณหภูมิ 900 องศาเซลเซียส ขนาด

อนุภาคเฉลี่ยประมาณ 86.17 นาโนเมตร โดยอนุภาคที่ใหญ่ขึ้นเกิดจากการหลอมรวมตัวกันของอนุภาคเล็กทำให้อนุภาคมีรูปร่างไม่แน่นอน



รูปที่ 4.1 ผลการซึ่งครุภาระห้องเครื่องส่องแสงอิเล็กทรอนิกส์แบบส่องทางในสภาวะการณ์ (SEM)  
ของผงลึก  $\text{LaMnO}_3$  ร่วมกับสารเชื้อเพลิงไกลซีนที่อัตราส่วน 1:0.1 แคลไชน์ที่อุณหภูมิ  
(ก) 600 (ข) 700 (ค) 800 และ (ง) 900 องศาเซลเซียส เป็นเวลา 2 ชั่วโมง



**รูปที่ 4.5 แผนภาพแสดงการกระจายตัวของขนาดอนุภาคผงผลึก  $\text{LaMnO}_3$  โดยใช้สารเชือเพลิงไกลซีน**

ผงแคลไซน์ที่อุณหภูมิ 900 องศาเซลเซียส ในอัตราส่วน 1:0.1

จากรูปที่ 4.5 แสดงแผนภาพการกระจายตัวของขนาดอนุภาคผงผลึก  $\text{LaMnO}_3$  โดยใช้สารเชือเพลิงไกลซีน ผงแคลไซน์ที่อุณหภูมิ 900 องศาเซลเซียส เป็นเวลา 2 ชั่วโมง ในอัตราส่วน 1:0.1 แสดงให้เห็นว่า ขนาดอนุภาคมีการกระจายตัวอยู่ในช่วงประมาณ 50-160 นาโนเมตร และมีการกระจายตัวสูงสุดอยู่ในช่วงประมาณ 70-80 นาโนเมตร โดยมีขนาดอนุภาคเฉลี่ยอยู่ที่ 86.17 นาโนเมตร

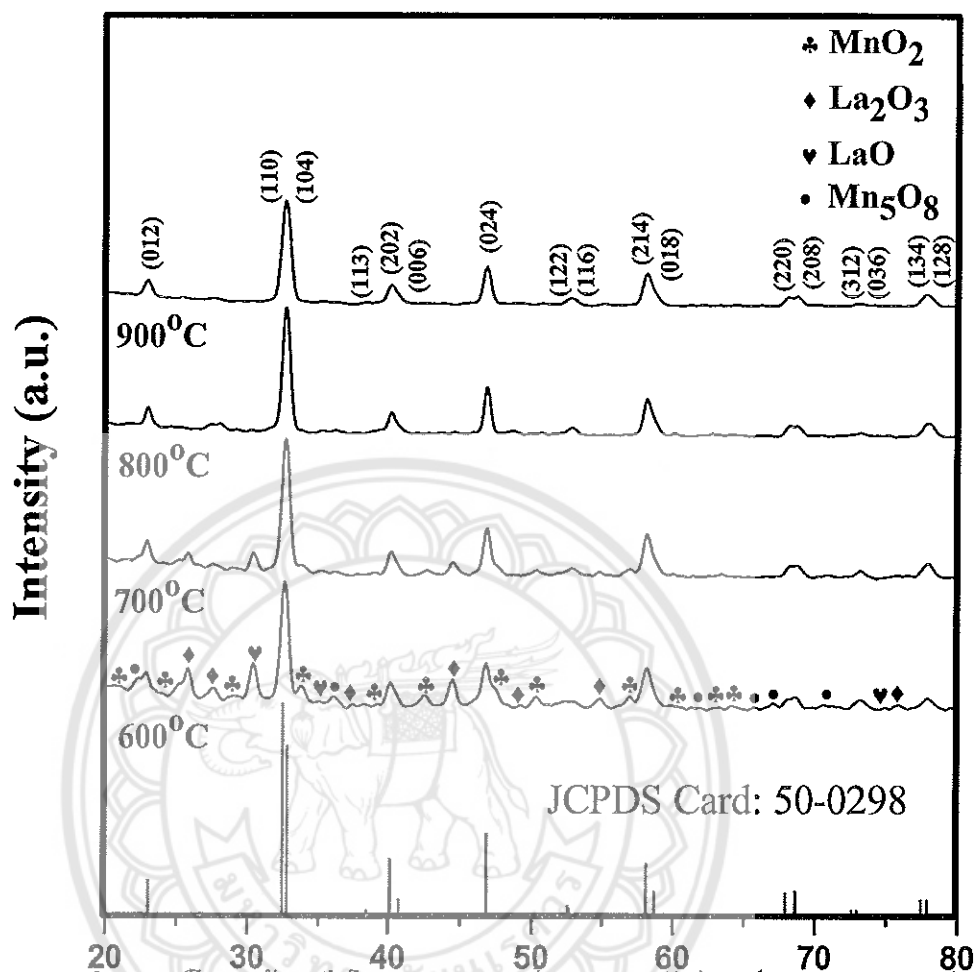
**4.3 ผลการวิเคราะห์ผงผลึก  $\text{LaMnO}_3$  ที่เตรียมด้วยกระบวนการปฏิกิริยาการเผาไหม้โซล-เจล โดยใช้**

สารเชือเพลิงไกลซีนที่อัตราส่วน 1:0.3 ด้วยเครื่องวิเคราะห์การเลี้ยวเบนของรังสีเอกซ์ (XRD) และผลการวิเคราะห์ด้วยกล้องจุลทรรศน์อิเล็กตรอนแบบส่องกราด (SEM)

จากการวิเคราะห์โครงสร้างผลึกและโครงสร้างจุลภาคของผงผลึก  $\text{LaMnO}_3$  ด้วยเทคนิคการเลี้ยวเบนของรังสีเอกซ์ และ เทคนิคการถ่ายภาพด้วยกล้องจุลทรรศน์อิเล็กตรอนแบบส่องกราด ร่วมกับสารเชือเพลิงไกลซีนที่อัตราส่วน 1:0.3 หลังจากแคลไซน์ที่อุณหภูมิ 600 700 800 และ 900 องศาเซลเซียส เป็นเวลา 2 ชั่วโมง

เมื่อวิเคราะห์ด้วยเทคนิคการเลี้ยวเบนของรังสีเอกซ์ (XRD) ซึ่งผงแคลไซน์ที่อุณหภูมิ 600-900 องศาเซลเซียส เป็นเวลา 2 ชั่วโมง ดังแสดงในดังรูปที่ 4.6 พบว่าเริ่มมีโครงสร้างเพอร์อฟไกต์ของ  $\text{LaMnO}_3$  เกิดขึ้น ตั้งแต่อุณหภูมิ 600 องศาเซลเซียส แต่โครงสร้างที่พบยังไม่บริสุทธิ์ เนื่องจากพลาสติกปรอม  $\text{MnO}_2$   $\text{La}_2\text{O}_3$   $\text{Mn}_5\text{O}_8$  และ  $\text{LaO}$  เกิดขึ้น แต่เมื่ออุณหภูมิสูงขึ้นพีกของสารแพลกปรอมลดลง และที่อุณหภูมิ 900 องศาเซลเซียส พบว่าผงผลึกที่ได้มีโครงสร้างเป็นเพอร์อฟไกต์แบบปรอมไบไฮดรอฟาร์ด (rhombohedral) ซึ่งสอดคล้องกับฐานข้อมูล JCPDS หมายเลข 50-0298 และไม่พบสารแพลกปรอม นอกจากนี้ยังพบว่าอัตราส่วนของการเติมสารเชือเพลิงไกลซีนมีผลต่อการลดลงของพีกสารแพลกปรอมอย่างมีนัยสำคัญ





รูปที่ 4.6 ผลการวิเคราะห์โครงสร้างผลึกโดยเทคนิคการเลี้ยงแบบของรังสีเอกซ์ (XRD) ของผลึก LaMnO<sub>3</sub> ร่วมกับสารเชื้อเพลิงไกลเซนทรัล (G.L.C.) แคลไซน์ที่อุณหภูมิ 600-900 องศาเซลเซียส เป็นเวลา 2 ชั่วโมง JCPDS Card: 50-0298

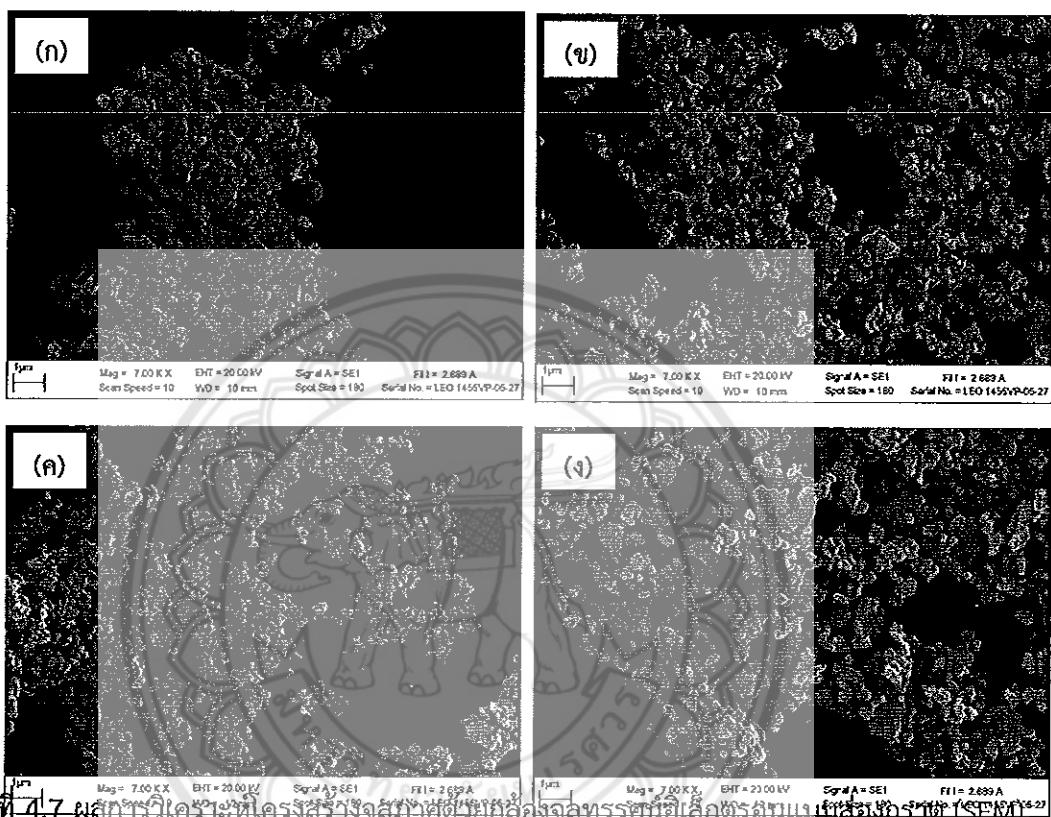
เมื่อได้ข้อมูลจากการวิเคราะห์ด้วยเทคนิคการเลี้ยวเบนของรังสีเอกซ์ (XRD) แล้ว นำข้อมูลที่ได้มาคำนวณหาค่าร้อยละความบริสุทธิ์ของโครงสร้างเพอร์อฟสไกต์ของผลึก LaMnO<sub>3</sub> แพแคลไซน์ที่อุณหภูมิ 600-900 องศาเซลเซียส เป็นเวลา 2 ชั่วโมง และผลตั้งตารางที่ 4.3 จากตารางพบว่า เมื่อทำการแคลไซน์ที่อุณหภูมิแคลไซน์สูงขึ้นร้อยละความบริสุทธิ์ของสารตัวอย่าง LaMnO<sub>3</sub> มีค่าสูงขึ้นตามไปด้วย โดยเมื่อแพแคลไซน์ที่อุณหภูมิ 600 700 800 และ 900 องศาเซลเซียส มีค่าร้อยละความบริสุทธิ์ของโครงสร้างเพอร์อฟสไกต์เป็น 54.55 84.00 96.73 และ 100 ตามลำดับ โดยร้อยละความบริสุทธิ์ที่สูงที่สุดคือ 100 จะเห็นได้ว่าที่อุณหภูมิแคลไซน์เดียวกันกับการเติมสารเชื้อเพลิงไกลซีนที่อัตราส่วน 1:0.3 ค่าร้อยละความบริสุทธิ์ของผลึกมีค่าสูงขึ้น จึงสามารถกล่าวได้ว่าอุณหภูมิแคลไซน์และอัตราส่วนของการเติมสารเชื้อเพลิงไกลซีนมีผลต่อการเกิดโครงสร้างเพอร์อฟสไกต์ของ LaMnO<sub>3</sub> อย่างมีนัยสำคัญ

**ตารางที่ 4.3 ค่าร้อยละความบริสุทธิ์ของโครงสร้างเพอร์อฟสไกต์ของผลึก LaMnO<sub>3</sub> ร่วมกับสารเชื้อเพลิงไกลซีนที่อัตราส่วน 1:0.3 แคลไซน์ที่อุณหภูมิ 600-900 องศาเซลเซียส เป็นเวลา 2 ชั่วโมง**

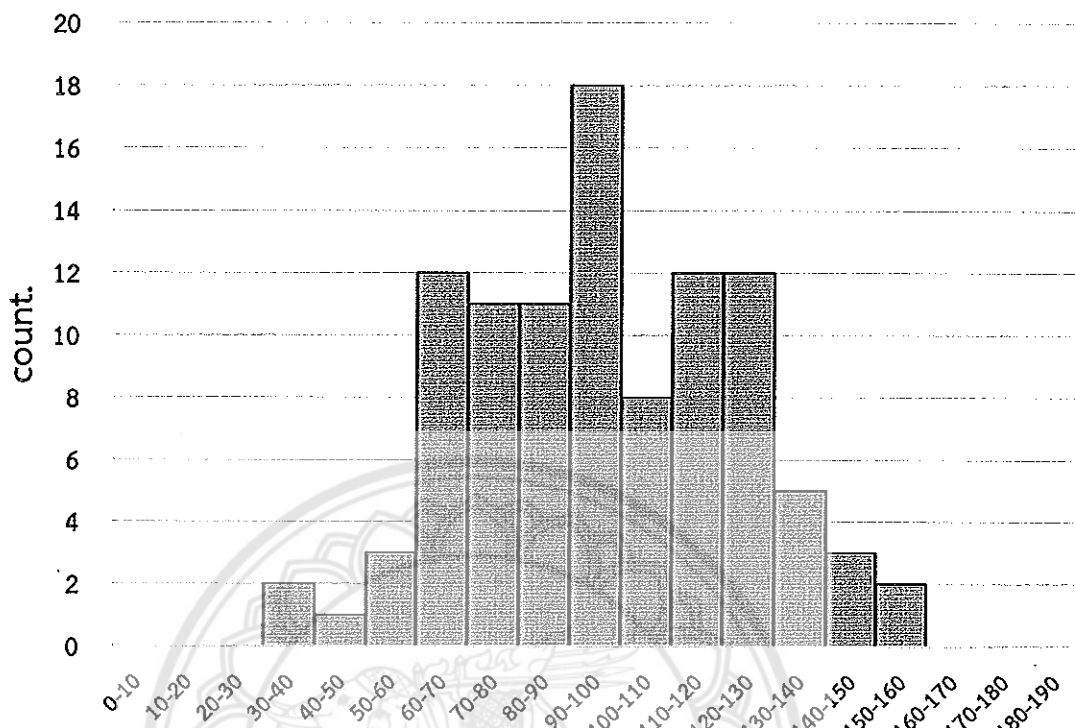
| อุณหภูมิการแพแคลไซน์<br>(°C) | ร้อยละความบริสุทธิ์ |
|------------------------------|---------------------|
|                              | 1:0.3               |
| 600                          | 54.55               |
| 700                          | 84.00               |
| 800                          | 96.73               |
| 900                          | 100.00              |

จากการตรวจสอบโครงสร้างจุลภาคของผลึก LaMnO<sub>3</sub> ด้วยกล้องจุลทรรศน์อิเล็กตรอนแบบส่องกราด (SEM) ด้วยกำลังขยาย 7,000 เท่า เมื่อแพแคลไซน์ที่อุณหภูมิ 600-900 องศาเซลเซียส เป็นเวลา 2 ชั่วโมง ดังรูปที่ 4.7 พบว่า อนุภาคที่ได้มีลักษณะคล้ายกันในทุกอุณหภูมิการแพแคลไซน์ นั่นคือเป็นเม็ดค่อนข้างกลมขนาดเล็ก มีการเกาะกลุ่มกันอย่างหนาแน่น และเมื่อแคลไซน์ที่อุณหภูมิสูงขึ้นขนาดของอนุภาคมีแนวโน้มใหญ่ขึ้น สังเกตได้ว่าที่อุณหภูมิ 900 องศาเซลเซียส

อนุภาคที่ใหญ่ขึ้นเกิดจากการหลอมรวมตัวกันของอนุภาคเล็กทำให้ออนุภาคมีรูปร่างไม่แน่นอน และมีขนาดอนุภาคเฉลี่ยอยู่ที่ประมาณ 95.06 นาโนเมตร ซึ่งมีขนาดใหญ่ขึ้นเมื่ออัตราส่วนสารเชือเพลิงเพิ่มขึ้น



รูปที่ 4.7 ผลการวิเคราะห์โครงสร้างจุลทรรศน์โดยการถ่ายภาพแบบส่องไฟฟ้า (SEM)  
ของผงผลึก LaMnO<sub>3</sub> ร่วมกับสารเชือเพลิงไกลเซ็นที่อัตราส่วน 1:0.3 แคลไชน์ที่อุณหภูมิ  
(ก) 600 (ข) 700 (ค) 800 และ (ง) 900 องศาเซลเซียส เป็นเวลา 2 ชั่วโมง



รูปที่ 4.8 แผนภาพแสดงการกระจายตัวของขนาดอนุภาคผงผลึก  $\text{LaMnO}_3$  โดยใช้สารเชือเพลิงไกลซีน

เผาเคลื่อนที่อุณหภูมิ 900 องศาเซลเซียส ในอัตราส่วน 1:0.3

จากรูปที่ 4.8 แสดงแผนภาพการกระจายตัวของขนาดอนุภาคผงผลึก  $\text{LaMnO}_3$  โดยใช้สารเชือเพลิงไกลซีน เผาเคลื่อนที่อุณหภูมิ 900 องศาเซลเซียส เป็นเวลา 2 ชั่วโมง ในอัตราส่วน 1:0.3 แสดงให้เห็นว่า ขนาดอนุภาคมีการกระจายตัวอยู่ในช่วงประมาณ 30-160 นาโนเมตร และมีการกระจายตัวสูงสุดอยู่ในช่วงประมาณ 90-100 นาโนเมตร โดยมีขนาดอนุภาคเฉลี่ยอยู่ที่ 95.06 นาโนเมตร

## บทที่ 5

### สรุปผลการทดลอง

จากการสังเคราะห์ผงผลึก LaMnO<sub>3</sub> ด้วยกระบวนการปฏิกิริยาเผาไหม้เซล-เจลโดยใช้สารเชื้อเพลิงไกลซีนในอัตราส่วน 1:0.1 และ 1:0.3 โดยโมล หลังจากเผาแคลใจชันที่อุณหภูมิ 600 700 800 และ 900 องศาเซลเซียส เป็นเวลา 2 ชั่วโมง ด้วยอัตราการให้ความร้อน 2 องศาเซลเซียส/นาที เมื่อวิเคราะห์ด้วยเทคนิคการเลี้ยวเบนของรังสีเอกซ์ (XRD) พบว่าผงผลึกที่ได้มีความบริสุทธิ์ มีโครงสร้างเป็นเพอร์อฟสไกต์แบบรอมโบฮีดราล (rhombohedral) เมื่อเติมเชื้อเพลิงไกลซีนในอัตราส่วน 1:0.1 และ 1:0.3 โดยโมล ที่อุณหภูมิ 900 องศาเซลเซียส ซึ่งสอดคล้องกับฐานข้อมูล JCPDS หมายเลข 50-0298 แต่ที่อุณหภูมิอื่นๆยังไม่พบโครงสร้างที่บริสุทธิ์ เนื่องจากยังพบร่องรอย MnO<sub>2</sub> La<sub>2</sub>O<sub>3</sub> Mn<sub>5</sub>O<sub>8</sub> และ LaO หลังเหลืออยู่ และเมื่อตรวจสอบด้วยกล้องจุลทรรศน์ อิเล็กตรอนแบบส่องกราด พบว่าอนุภาคมีลักษณะค่อนข้างกลมປะปนกับรูปร่างไม่แน่นอน เกาะกลุ่ม กันอย่างหนาแน่น มีขนาดอนุภาคเฉลี่ยประมาณ 86.17 และ 95.06 นาโนเมตร เมื่อเติมเชื้อเพลิงไกลซีนในอัตราส่วน 1:0.1 และ 1:0.3 โดยโมล ตามลำดับ ที่อุณหภูมิ 900 องศาเซลเซียส นอกจากนี้ ยังพบว่าผงผลึกมีค่าร้อยละความบริสุทธิ์ เพอร์อฟสไกต์เพิ่มขึ้น และอนุภาคมีขนาดใหญ่ขึ้น เมื่ออุณหภูมิแคลใจชันและอัตราส่วนสารเชื้อเพลิงไกลซีนเพิ่มขึ้น

## บรรณานุกรม

- [1] สุจิตตรา แสงสกุล. (2008). การสังเคราะห์และการศึกษาลักษณะเฉพาะของอนุภาคนาโนใน LaMnO<sub>3</sub> เตรียมโดยวิธีโซล-เจลแบบดัดแปลง. *Asia-Pacific Journal of Scince and Technology*, KKU Res J 13(1), 137-152.
- [2] Yuanyuan Li, Lihong Xue, Lingfang Fan, Youwei Yan. (2008). The effect of citric acid to metal nitrates molar ratio on sol-gel combustion synthesis of nanocrystalline LaMnO<sub>3</sub> powders Titanate nanopowders synthesized by Sol-gel Combustion method with Chitosen solution addition. *Journal of Alloys and Compounds*, (478), 493-497.
- [3] Hend Najjara,b, Jean-Franc, ois Lamoniera, Olivier Mentrea, Jean-Marc Giraudona, Habib Batis. (2011). Optimization of the combustion synthesis towards efficient LaMnO<sub>3+y</sub> catalysts in methane oxidation. *Applied Catalysis B: Environmental*, (106), 149-159.
- [4] นพศิริ ไชยโย, นราธิป วิทยากร. (2554). วิธีการสังเคราะห์แบบเผาไหม้. *วารสารวิทยาศาสตร์ ลาดกระบัง*, 20(1), 45-59.
- [5] วิทูรย์ ตั้งวัฒนกุล. (2016). อนุภาคมแม่เหล็กนาโนจากโซล-เจล. *วารสารพิสิกส์ไทย* (33), 11-15.
- [6] Alastair, G. and Hartley, S. (2011). *Structural and Defect Properties of Strontium Titanate*. Dissertation for the degree of Doctor of Philosophy in Chemistry of the University College London.
- [7] Haertling, G.h. (1999). Ferroelectric ceramics. *Journal of the American Ceramic Society*, (82), 797-818.
- [8] Li, C. Soh, K.C. and Wu, P. (2004). Formability of ABO<sub>3</sub> perovskites. *Journal of Alloys and Compound*. (372), 40-48.
- [9] สุพล อนันดา. (2552). กระบวนการประดิษฐ์สำหรับเซรามิกขั้นสูง. *เอกสารประกอบการสอนรายวิชา ว.ว.ศ. 210443*. (40-43, 132-145).
- [10] สุจิตร วงศ์เกษมจิตต์. (2552). *วิทยาศาสตร์และเทคโนโลยี กระบวนการโซล-เจล*. กรุงเทพฯ. สำนักพิมพ์แห่งจุฬาลงกรณ์มหาวิทยาลัย.
- [11] รศ.แม่น อmurสิทธิ์ และคณะ. (2552). 499. หลักการและเทคนิคการวิเคราะห์เชิงเครื่องมือ: การเสี้ยวเบนรังสีเอกซ์. บริษัท ชวนพิมพ์ 50 จำกัด.
- [12] วิทยาลัยนาโนเทคโนโลยีพระจอมเกล้าลาดกระบัง. 2557. *Scanning Electron Microscopy (SEM)*. (ออนไลน์). แหล่งที่มา : <http://www.nano.kmitl.ac.th/index.php/tool/218-scanning-eletron-microscopyssem-.html>. 20 ตุลาคม 2561.

- [13] รศ.ดร.จตุพร วุฒิกนกกาญจน์. 2015. Perovskiteวัสดุเก็บเกี่ยวแสงสำหรับเซลล์แสงอาทิตย์ทางเลือกในอนาคต. (ออนไลน์). ที่มา : <http://www.kmutt.ac.th/hynae/perovskite/>. 20 ตุลาคม 2561.
- [14] ธนา พรประเสริฐสุข. เซลล์เชื่อมเพลิง...อุปกรณ์ผลิตพลังงานไฟฟ้าแห่งอนาคต เทคโนโลยีวัสดุ. 60: 26-32: กรกฎาคม - กันยายน 2553.
- [15] มหิดลวิทยานุสรณ์. ตัวเร่งปฏิกิริยา. ปัจจัยที่มีผลต่อการเกิดปฏิกิริยาเคมี. (ออนไลน์). แหล่งที่มา : <https://il.mahidol.ac.th/e-media/ap-chemistry2/kinetics/catalyst.htm>. 21 ตุลาคม 2561.
- [16] W. Cao. (2018). Synthesis of Nanomaterials by High Energy Ball Milling. Skyspring Nanomaterials, Inc.
- [17] วิกิพีเดีย. กระบวนการให้ความร้อนกับสารเซรามิก. เชรามิก. (ออนไลน์). แหล่งที่มา : <https://th.wikipedia.org/wiki/เชรามิก>. 21 ตุลาคม 2561.
- [18] Maryam Shateriana, Morteza Enhessarib, Davarkhah Rabbanic, Morteza Asgharid, Masoud Salavati-Niasariea. (2014). Synthesis, characterization and photocatalytic activity of LaMnO<sub>3</sub>nanoparticles. Applied Surface Science. 318, 213–217
- [19] Chuanhui Zhang<sup>a,b</sup>, Yanglong Guo<sup>a</sup>, Yun Guo<sup>a</sup>, Guanzhong Lu<sup>a</sup>, Antoinette Boreave<sup>b</sup>, Laurence Retailleau<sup>b</sup>, Alexandre Baylet<sup>b</sup>, Anne Giroir-Fendler<sup>b</sup>. (2014). LaMnO<sub>3</sub> perovskite oxides prepared by different methods for catalytic oxidation of toluene. Applied Catalysis B: Environmental. (148–149, 490-498)